



پتروژن گرانیت‌وئیدها، سن‌سنجدی زیرکن به روش U-Pb، ژئوشیمی ایزوتوب‌های Sr-Nd و رخداد مهم کانی‌سازی ترشیاری در بلوک لوت، شرق ایران

محمد حسن کریم‌پور^{*}، آزاده ملک‌زاده شفارودی^۱، لنگ فارمر^۲ و چاک استرن^۲

۱- گروه پژوهشی اکتشاف ذخایر معدنی شرق ایران، دانشگاه فردوسی مشهد، صندوق پستی: ۱۴۳۶-۹۱۷۷۵، مشهد، ایران

۲- گروه زمین‌شناسی، دانشگاه کلرادو امریکا

دریافت مقاله: ۱۳۹۰/۱۰/۲۰، پذیرش: ۱۳۹۱/۱/۲۰

چکیده

توده‌های نفوذی ترشیاری (گرانیت‌وئیدها) در مناطق مختلفی از بلوک لوت در استان‌های خراسان رضوی و جنوبی مورد مطالعه قرار گرفت. عمدت توده‌ها از نوع نیمه عمیق با بافت پورفیری بوده و ترکیب آنها از دیوریت تا گرانیت متغیر است، ولی غالباً مونزونیتی هستند. این توده‌ها (به استثنای هیرد) متعلق به سری مگنتیت (نوع I) بوده و به طور عمدت از نوع متا‌آلومینوس هستند. اغلب توده‌های نفوذی که کم و بیش نیز همراه با کانی‌سازی هستند از نوع غنی از پاتاسیم هستند، در حالی که توده‌های نفوذی بدون کانی‌سازی نجم‌آباد از نوع سدیک است. ماغما نجم‌آباد با توجه به مقدار $5 \text{ ppm} < \text{Nb}$, $\text{Nb} / \text{Zr} > 30$, نسبت $\text{Sr}^{87} / \text{Sr}^{86}$ اولیه کمتر از 0.7053 و مقدار $\epsilon_{\text{Nd}}^{14}$ در حدود $+16.5$ در زون فروزانش و از اعمق بیشتر منشأ گرفته و کمترین آلودگی با پوسته قاره‌ای را داشته است، در حالی که توده‌های منطقه کیرکوه با بالاترین مقدار $17 \text{ ppm} > \text{Nb}$, نسبت $\text{Nb} / \text{Zr} < 2$, نسبت $\text{Sr}^{87} / \text{Sr}^{86}$ اولیه بیش از 0.7077 و مقدار $\epsilon_{\text{Nd}}^{14}$ کمتر از -3 بیشترین اختلاط با پوسته قاره‌ای را نشان می‌دهد. تهی‌شدگی شدید عناصر HREE در توده‌های نفوذی نجم‌آباد و نسبت $(\text{La/Yb})_{\text{Eu}}$ بیش از 17 تا 23 نشان‌دهنده تشکیل ماغما در عمق پایداری گارت است. برپایه الگوی REE و مقدار Eu/Eu^* بین 0.8 تا 1 ، توده‌های مناطق ماهرآباد، خوپیک، چاه‌شلجمی، دهسلم و کوه شاه، کالک‌آلکالن هستند و ماغما آنها در شرایط اکسیدان تشکیل شده است، ولی کیرکوه با مقدار Eu/Eu^* کمتر از 0.8 با پوسته قاره‌ای احیایی آلوده شده است. توده‌های نفوذی همه مناطق غیر از نجم‌آباد در محدوده مشترک ماغما کالک‌آلکالن ترمال با آداسیتی قرار دارد، ولی توده‌های نجم‌آباد به ترکیب ماغما آداسیتی شباهت دارند. سن گرانیت‌وئیدها بین ائوسن میانی تا الیگومن تحتنی بوده و از $43/3$ میلیون سال در کیرکوه در شمال تا $33/3$ میلیون سال در چاه‌شلجمی در جنوب کاهش می‌یابد. مقدار نسبت $\text{Sr}^{87} / \text{Sr}^{86}$ اولیه نیز از شمال به جنوب همراه با کاهش سن توده‌های نفوذی از کیرکوه به طرف چاه‌شلجمی، از 70.47 به 70.77 کاسته می‌شود. توده‌های نفوذی ماهرآباد، خوپیک، دهسلم و چاه‌شلجمی مقدار $\epsilon_{\text{Nd}}^{14}$ بین $+0.5 / +2.49$ و مقدار نسبت $\text{Sr}^{87} / \text{Sr}^{86}$ اولیه کمتر از 0.7055 دارند که نشان‌دهنده ماغما مشتق شده از ذوب بخشی پوسته اقیانوسی است. سن سنگ منشأ گرانیت‌وئیدها (TDM) که براساس ایزوتوب‌های Sm-Nd محاسبه شده است، نشان می‌دهد که توده‌های نفوذی از پوسته‌های اقیانوسی با سن‌های متفاوتی منشأ گرفته‌اند، به طوری که ماغما منطقه کیرکوه از قدیمی‌ترین پوسته اقیانوسی در حال فروزانش (840 میلیون سال)، نشأت گرفته و بیشترین آلاش پوسته‌ای را در طی صعود متحمل شده است. ولی توده‌های نجم‌آباد از یک پوسته اقیانوسی جوان‌تر (سن 360 میلیون سال) منشأ گرفته و کمترین آلودگی را با پوسته دارند. ماغما مناطق دهسلم و چاه‌شلجمی نیز که در برخی موارد ژئوشیمی متفاوتی با ماغما مناطق ماهرآباد و خوپیک نشان می‌دهند، از پوسته‌های اقیانوسی جداگانه‌ای منشأ گرفته‌اند که حدود 200 میلیون سال با یکدیگر اختلاف سنی داشته‌اند. فاصله زمانی بین 42 تا 33 میلیون سال قبل (ائوسن میانی تا اوایل الیگومن)، مهمترین پنجره زمانی کانی‌سازی در شرق ایران و محدوده استان خراسان جنوبی است. انواع کانی‌سازی مس-طلاء پورفیری، طلاء مرتبط با توده‌های نفوذی احیایی، طلاء اپی‌ترمال سولفید بالا، اسکارن آهن، رگه‌های IOCG و Pb-Zn-Sb شناسایی شده‌اند. لذا گرانیت‌وئیدهای تشکیل شده در محدوده زمانی 42 تا 33 میلیون سال که در بلوک لوت و شمال آن قرار دارند، برای این مجموعه کانی‌سازی پتانسیل دارند.

واژه‌های کلیدی: بلوک لوت، ترشیاری، کانی‌سازی، سن‌سنجدی، ایزوتوب ناپایدار، پتروژن.

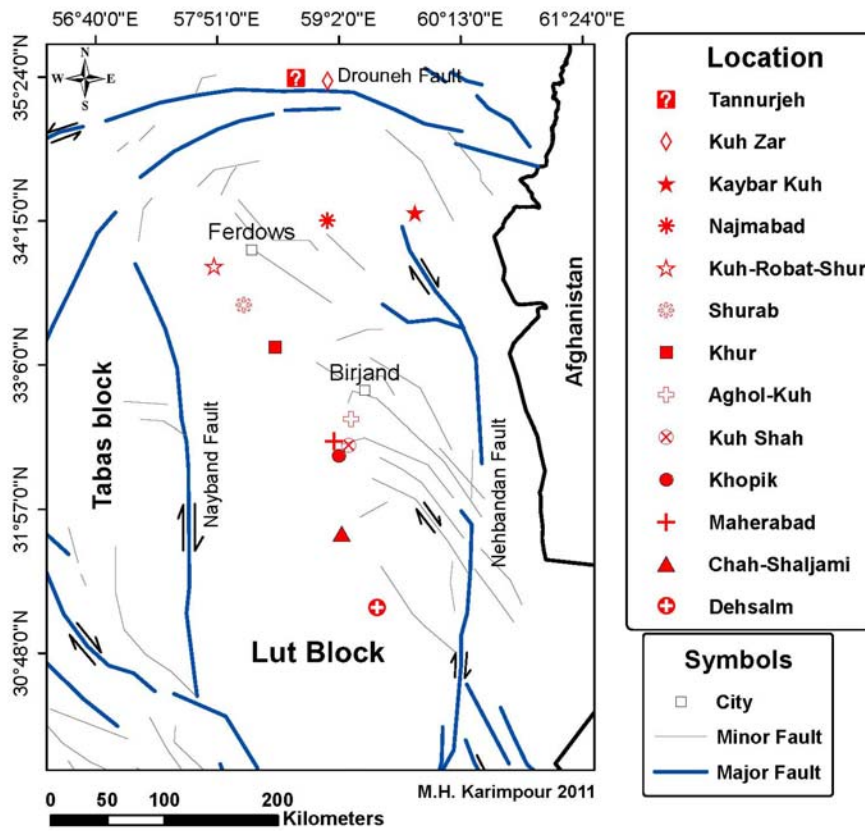
توسط [۴-۱۳] از جنبه‌های زمین‌شناسی، آلتراسیون، کانی‌سازی، ژئوشیمی و پترولوزیکی مطالعه شده است. مطالعه ایزوتوپی و سن‌سنگی در آغل‌کوه و کوه رباط سور توسط جونگ و همکاران [۱۴] و در منطقه خور توسط [۱۵] انجام شده است. هدف از انجام این پژوهش، مقایسه پتروژنزن توده‌های نفوذی مهم ترشیاری در بلوک لوت، سن آنها و منشأ ماغما و سرانجام ارتباط آنها با کانی‌سازی‌های مختلف در شرق ایران است. این مطالعه پنجره زمانی مهم کانی‌سازی در بلوک لوت، موقعیت آن و ژئوشیمی ماغمای آن را مشخص می‌کند. در آینده می‌توان با مطالعه تفصیلی در مناطق بیشتری از شرق ایران، این بررسی را تکمیل‌تر و دقیق‌تر کرد که بدون شک به اکتشاف کانسارهای مختلف کمک می‌کند.

زمین‌شناسی

مناطق مورد مطالعه به طور عمده در شرق و شمال بلوک لوت واقع شده‌اند. زمین‌شناسی این نواحی شامل توده‌های نفوذی اسیدی - حدواسط نیمه‌عمیق ترشیاری با بافت پورفیری است که در سنگهای آتش‌شکنی و یا رسوبی نفوذ نموده‌اند و در اکثر موارد موجب تشکیل آلتراسیون و کانی‌سازی شده‌اند. ایشی‌هارا [۱۶] مقدار پذیرفتاری مغناطیسی گرانیت‌وئیدهای سری مگنتیت (اکسیدان) را به علت حضور کانی فرعی مگنتیت بیش از $SI^{+5} \times 10^{-8}$ و گرانیت‌وئیدهای سری ایلمنیت (احیایی) را کمتر از این مقدار می‌داند. مقدار پذیرفتاری مغناطیسی همه توده‌های نفوذی مناطقی که در این مقاله بحث شده‌اند، بیشتر از $SI^{+5} \times 10^{-8}$ است و همگی از نوع گرانیت‌وئیدهای اکسیدان و متعلق به سری مگنتیت هستند. منطقه کبیرکوه در نقشه ۱:۱۰۰۰۰۰ زون واقع شده است [۱۷]. زمین‌شناسی این ناحیه شامل توده‌های نفوذی درونی و نیمه‌عمیق اثوسن تحتانی است که از دیوریت تا مونزوگرانیت متغیرند و به درون سنگهای رسوبی نفوذ نموده‌اند. این توده‌ها به دسته سری مگنتیت و سری ایلمنیت تقسیم می‌شوند. نفوذ این توده‌ها به درون واحدهای کربناته به تشکیل اپیدوت اسکارن منجر شده است. توده‌های نفوذی سری مگنتیت این منطقه واجد آلتراسیون پروپلیتیک ضعیف تا متوسط هستند و کانی‌سازی بسیار محدودی همراه با آنها دیده می‌شود. نوع کانی‌سازی به درستی مشخص نیست [۹].

مقدمه

بلوک لوت را اولین بار اشتوكلین [۱] به عنوان یکی از ۹ زون ساختاری ایران در شرق آن معرفی نمود. وی این زون را همراه با فلات توران و پلاتفرم عربی به عنوان نواحی پایدار مشخص کرد. اشتوكلین و نبیوی [۲] بلوک لوت را با درازایی حدود ۹۰۰ کیلومتر شرقی‌ترین بخش خرد قاره ایران مرکزی دانسته‌اند. آنها مرز شرقی آن را گسل نهیندان و حوضه فیلیش شرق ایران و مرز غربی آن را گسل نایبند و بلوک طبس مشخص کردند. مرز شمالی این بلوک به فرونشست جازموریان بسته می‌شود. یکی از ویژگی‌های منحصر به فرد بلوک لوت، فعالیتهای ماغماتیسمی آن بوده که از ژوراسیک آغاز شده و در ترشیاری به اوج خود رسیده است، به طوری که سنگهای آتش‌شکنی - نفوذی ترشیاری، به ویژه اثوسن، با ضخامت حدود ۲۰۰۰ متر، بیش از نیمی از بلوک لوت را می‌پوشانند [۳]. شرق ایران و به ویژه بلوک لوت به واسطه داشتن موقعیتهای تکتونیکی مختلف در زمانهای گذشته و به دنبال آن وجود حجم عظیم ماغماتیسم با ویژگی‌های ژئوشیمیایی متفاوت، دارای پتانسیل بسیار مناسبی برای تشکیل کانی‌سازی‌های مختلف است. درک بهتر از ژئوشیمی، سن و منشأ ماغما در توده‌های نفوذی مرتبط و یا بدون کانی‌سازی، گام مثبتی در جهت اکتشاف کانسارهای مختلف در شرق ایران است. مناطق مورد مطالعه در این تحقیق شامل توده‌های نفوذی نواحی ماهرآباد و خوپیک در حدود ۷۰ کیلومتری جنوب غربی بیرجند، کوهشاه در ۸۰ کیلومتری جنوب‌غربی بیرجند، آغل‌کوه در ۵۰ کیلومتری جنوب‌غربی بیرجند، خور (قله گنبد) در حدود ۳۰ کیلومتری شمال‌غربی خور، چاه‌شلجمی در حدود ۸۵ کیلومتری شمال‌غرب و دهسلم در حدود ۷۰ کیلومتری جنوب‌غربی نهیندان، شوراب در حدود ۳۵ کیلومتری شمال‌غرب خور، کوه رباط سور در حدود ۲۵ کیلومتری جنوب غربی فردوس، نجم‌آباد در ۴۰ کیلومتری جنوب گناباد، کوهز در ۷۰ کیلومتری غرب تربت حیدریه، تنورجه در ۸۰ کیلومتری غرب تربت حیدریه و کبیرکوه در ۷۰ کیلومتری جنوب‌غربی خواف است که کانی‌سازی ذخیره همراه با آنها متنوع بوده و یا بعضًا فاقد کانی‌سازی می‌باشند (شکل ۱). این مناطق (غیر از آغل‌کوه، خور و کوه رباط سور)



شکل ۱. موقعیت توده‌های نفوذی مورد مطالعه به سن ترشیاری در بلوک لوت.

بیرجند واقع شده است [۱۹]. زمین‌شناسی منطقه شامل توده مونزونیت پورفیری است که در سنگ‌های آتشفسانی ترشیاری و سنگ‌های رسوبی نفوذ نموده است. آثاری از کانی‌سازی مس به صورت پراکنده در این منطقه دیده شده است. منطقه کوه رباط شور در شمال نقشه ۱:۲۵۰۰۰۰ بشرویه واقع شده است [۲۰]. این منطقه یک توده سینیت پورفیری است. آثاری از کانی‌سازی مس در برخی نقاط دیده شده است. مجموعه سنگ‌های پلوتونیکی آتشفسانی شمال خور در جنوب نقشه ۱:۱۰۰۰۰۰۰ سارغنج قرار گرفته است [۲۱] که کوه قله گنبد یکی از نواحی همین محدوده است. براساس مطالعات صحرایی توده نفوذی نیمه عمیق با ترکیب مونزودیوریت به سن ائوسن میانی در این منطقه رخمنون دارد. کانی‌سازی مس رگه‌ای در اطراف این محدوده در چند منطقه از قبیل مناطق شکسته سیز، حوض داغ، میرخاش و غیره دیده می‌شود. بخش‌های زیادی از این محدوده متحمل آلتراسیون آرژیلیک شده است. مناطق Maherabad و خوبیک در شمال شرقی نقشه ۱:۱۰۰۰۰۰ سرچاه شور واقع شده‌اند [۲۲]. زمین‌شناسی منطقه Maherabad

منطقه نجم‌آباد در جنوب نقشه ۱:۱۰۰۰۰۰ گناباد واقع شده است [۱۸]. توده‌های نفوذی نیمه عمیق ائوسن تحتانی تا میانی که از مونزونیت تا گرانوودیوریت متغیرند و به دو دسته سری مگنتیت و سری ایلمینیت قابل تفکیک هستند در سنگ‌های رسوبی دگرگون شده مانند اسلیت و ماسه سنگ دگرگون شده نفوذ کرده‌اند. توده‌های نفوذی سری مگنتیت فاقد آلتراسیون و کانی‌سازی هستند [۱۰ و ۱۱]. منطقه شوراب در جنوب‌غربی نقشه ۱:۱۰۰۰۰۰ آیسک واقع شده است. سنگ‌های رسوبی سازند شمشک به سن ژوراسیک قدیمترین واحدهای سنگی منطقه هستند. بخش اعظم منطقه از سنگ‌های آتشفسانی آندزیتی ترشیاری پوشیده شده است. دایک‌ها و استوک‌های نیمه عمیقی به سن ائوسن فوکانی تا الیگوسن تحتانی با ترکیب گرانوودیوریت در سنگ‌های آتشفسانی نفوذ نموده‌اند و عامل کانی‌سازی رگه‌ای مس، سرب و روی و آنتیموان منطقه هستند. واحدهای آتشفسانی و نیمه عمیق منطقه در پیرامون رگه‌های کانه‌دار متحمل آلتراسیون سرسیتیک و آرژیلیک شده‌اند [۴]. منطقه آغل‌کوه در جنوب‌غربی نقشه ۱:۱۰۰۰۰۰

گرانیتی به سن الیگومن تحتانی در سنگهای آتشفسانی منطقه نفوذ نموده و موجب تشکیل کانی‌سازی مس پورفیری شده است [۱۲]. منطقه چاهشلمجی به طور عمده پوشیده از سنگهای آتشفسانی شامل توف کریستالین ائوسن، توف سبز، بازالت، بازالت آندزیتی و آندزیت‌های به شدت آلتراه است. دایک‌هایی از مونزودیوریت و کوارتزدیوریت آلتراه شده در واحدهای آتشفسانی منطقه نفوذ نموده است. استوک‌های کوچکی از کوارزمونزونیت نیز سنگهای آتشفسانی ائوسن را قطع کرده است که بافت آنها پورفیری است. همچنین سنگهای گرانیتوئیدی نیمه‌عمیق با بافت پورفیری تقریباً تازه‌ای که مربوط به بعد از کانی‌سازی هستند، در ناحیه رخنمون دارند. این منطقه شواهد کانی‌سازی طلای اپی‌ترمال سولفید بالا را نشان می‌دهد که می‌تواند بخش فوقانی یک کانسار مس پورفیری باشد [۱۳].

روش انجام پژوهش

برای رسیدن به اهداف پژوهش عملیات زیر انجام گرفت:

- (۱) تجزیه شیمیایی ۵۰ نمونه از توده‌های نفوذی مختلف با کمترین آلتراسیون یا کاملاً سالم از مناطق مورد مطالعه (به غیر از منطقه شوراب) به روش XRF برای اندازه‌گیری اکسیدهای اصلی در دانشگاه فردوسی مشهد (نوع دستگاه فیلیپس مدل X-Unique II) است. اندازه‌گیری اکسیدهای اصلی در ۵ نمونه از منطقه شوراب و ۴ نمونه از مناطق آغل کوه و کوه رباط شور به روش XRF به ترتیب توسط [۴] در دانشگاه هامبورگ و [۱۴] آنالیز شده است.
- (۲) تجزیه شیمیایی ۴۴ نمونه از توده‌های نفوذی مختلف با حداقل آلتراسیون یا کاملاً سالم از مناطق مورد مطالعه به روش ICP-MS برای عناصر فرعی و نادرخاکی در آزمایشگاه کانادا (روش آمده‌سازی نمونه ذوب قلیایی بوده است).

(۳) سن‌سنجی ۶ نمونه از توده‌های نفوذی مناطق ماهرا آباد، خوپیک، نجم‌آباد و کیبرکوه به روش اندازه‌گیری ایزوتوب U-Pb بر روی کانی زیرکن. آمده‌سازی نمونه‌ها در دانشگاه فردوسی مشهد و اندازه‌گیری در آزمایشگاه آریزونای امریکا به روش Laser-Ablation ICP-MS انجام شده است. سن‌سنجی ۲ نمونه از توده‌های نفوذی مناطق چاهشلمجی و

را می‌توان به چهار بخش تقسیم کرد: ۱) سنگهای آتشفسانی پیش از ائوسن میانی که توده‌های نیمه‌عمیق ائوسن میانی وابسته به کانی‌سازی در آنها نفوذ کرده‌اند، ۲) توده‌های نیمه‌عمیق بیشتر حداستان ائوسن میانی وابسته به کانی‌سازی در حد مونزونیت تا دیوریت پورفیری که با شدت‌های مختلف دگرسان شده و دارای کانی‌سازی با مقادیر متفاوتند. این توده‌ها به صورت استوک‌های کوچک تا متوسط درهم تلسکوپی شده‌اند، ۳) توده‌های نیمه‌عمیق پس از ائوسن که در توده‌های وابسته به کانی‌سازی نفوذ کرده‌اند. این توده‌ها نیز از دیوریت تا مونزونیت متغیر بوده و کاملاً تازه‌اند، و اثری از کانی‌سازی و دگرسانی در آنها دیده نمی‌شود، و ۴) رسوبات کواترنری. کانی‌سازی این منطقه خوپیک را نیز می‌توان به سه بخش تقسیم نمود: ۱- سنگهای آتشفسانی داسیتی تا آندزیتی همراه با ماسه‌سنگ بشدت سیلیسی شده که بخش بزرگی از محدوده را به خود اختصاص داده‌اند، ۲- توده‌های نفوذی نیمه‌عمیق مرتبط با کانی‌سازی متعلق به ائوسن میانی که از مونزونیت تا دیوریت متغیرند. توده‌ها به شدت آلتراهند و کانی‌سازی به صورت رگ‌چهای و پراکنده کم و بیش در آنها دیده می‌شود و ۳- رسوبات کواترنری. کانی‌سازی این منطقه از نوع مس- طلا پورفیری است [۷]. زمین‌شناسی منطقه خوپیک را نیز می‌توان به سه شمائل غربی نقشه ۱:۱۰۰۰۰ مختاران واقع شده است [۲۳]. قدیمی‌ترین واحدهای این منطقه سنگهای آتشفسانی داسیتی تا لاتیتی همراه با کنگلومرا است. توده‌های نفوذی نیمه‌عمیق در این واحدها نفوذ کرده‌اند که ترکیب آنها از دیوریت تا مونزونیت متغیر است. این توده‌ها در اغلب موارد آلتراهند و آثار سولفیدهای اکسید شده در آنها دیده می‌شود. کانی‌سازی این منطقه مس- طلا می‌باشد که نوع دقیق آن در دست بررسی است [۸]. منطقه دهسلم در جنوب نقشه ۱:۱۰۰۰۰ دهسلم واقع شده است [۲۴]. قدیمی‌ترین واحد سنگی این منطقه آهکهای اوربیتولین دار زرد تا خاکستری است که در مرز توده گرانیتی دهسلم به اسکارن تبدیل شده است و آثاری از کانی‌سازی مس نیز در آن مشاهده می‌شود. واحدهای آتشفسانی ائوسن بخش اعظم منطقه را پوشانده است که متشکل از بازالت و آندزیت. بازالت سبز تیره، ریولیت و ریوداسیت سفید تا زرد و توف آندزیتی و آندزیت قرمز تا سبز تیره می‌باشد. توده نفوذی دهسلم با ترکیب دیوریتی تا

صورت Thermal Ionization Mass Spectrometer پذیرفت. نسبتهای ایزوتوپی Sr و Nd به دلیل تفریق جرمی، $^{146}\text{Nd}/^{144}\text{Nd} = 0.7219$ و $^{87}\text{Sr}/^{86}\text{Sr} = 0.1194$ است. نسبت به $^{87}\text{Sr}/^{86}\text{Sr} = 0.710256$ (16) (N=12; conf. lim = 95%) و استاندارد JNd-1 دارای مقدار میانگین $^{143}\text{Nd}/^{144}\text{Nd} = 0.5121057$ (61) (N=13; conf. lim=95%) بوده است.

ژئوشیمی توده‌های نفوذی ترشیاری اکسیدهای اصلی

مقدار SiO_2 توده‌ها از ۵۵ تا ۷۵ درصد متغیر است. برای نام گذاری سنگها براساس اکسیدهای اصلی از نمودار سنگهای پلوتونیک $\text{Na}_2\text{O}+\text{K}_2\text{O}$ در مقابل SiO_2 [۲۵] استفاده شد. بر طبق این رده‌بندی توده‌های نفوذی در محدوده گابروی دیوریتی، دیوریت، مونزودیوریت، مونزونیت، کوارتز مونزونیت، سینیت، گرانودیوریت و گرانیت قرار می‌گیرند (شکل ۲). مقدار $\text{Al}_2\text{O}_3/\text{Na}_2\text{O}+\text{K}_2\text{O}>1$ و $\text{Al}_2\text{O}_3/\text{CaO}+\text{Na}_2\text{O}+\text{K}_2\text{O}<1$ نشان می‌دهد که همگی این توده‌ها به غیر از دو نمونه از توده‌های منطقه شوراب، از نوع متاآلومینوس هستند. دو نمونه از توده‌های گرانودیوریتی شوراب در محدوده پرآلومینوس قرار می‌گیرد (شکل ۳). میزان K_2O از ۱ تا بیش از ۶ درصد متغیر است. نمودار K_2O در مقابل $\text{Na}_2\text{O}/\text{K}_2\text{O}$ نشان می‌دهد که توده‌های نفوذی کوه شاه دارای بیشترین مقدار K_2O (بیش از ۴ درصد) هستند و پس از آن به ترتیب توده‌های کیبرکوه، کوه رباط شور، دهسلم، چاه‌شلجمی، خوبیک، ماهرا آباد، شوراب و آغل کوه قرار می‌گیرند. این در حالی است که توده‌های نفوذی منطقه نجم‌آباد که فاقد کانی‌سازی هستند، کمتر از ۲ درصد K_2O دارند. این توده‌ها برخلاف توده‌های نفوذی دیگر مناطق غنی از سدیم هستند و نسبت $\text{Na}_2\text{O}/\text{K}_2\text{O}$ در آنها بیشتر از ۲/۵ است. این نسبت در بقیه مناطق کمتر از ۲ می‌باشد (شکل ۴). مقدار MgO در توده‌های نفوذی کوه شاه بسیار متغیر و مقدار CaO بیش از ۵ درصد است. توده‌های MgO نفوذی منطقه دهسلم نیز دارای مقدار منیزیم زیاد (MgO عمدتاً بیش از ۳/۵ درصد) و کلسیم CaO بین ۴/۵ تا ۱۰ درصد بالا هستند. مقدار MgO و CaO در توده‌های نفوذی ماهرا آباد، خوبیک، چاه‌شلجمی، آغل کوه و شوراب به ترتیب بین ۱/۵ تا ۳ درصد و ۲/۵ تا ۸ درصد متغیر است. این در

دهسلم به روش Rb-Sr بر روی کانیهای پلازیوکلاز و بیوتیت جداشده از توده‌ها و سنگ کل. آماده‌سازی نمونه‌ها و تجزیه در دانشگاه آویرو پرتابال انجام شده است [۱۳]. سن سنجی توده‌های گرانودیوریتی منطقه شوراب بر روی ۲ نمونه به روش Rb-Sr بر روی سنگ کل و بیوتیت و سنگ کل، بیوتیت و پلازیوکلاز توسط [۴] در دانشگاه مانستر آلمان Rb-Sr بر روی سنگ کل و بیوتیت توسط [۱۵] سن سنجی شده است. سن سنجی توده نفوذی کوه رباط شور به روش K-Ar توسط [۱۶] صورت پذیرفته است.

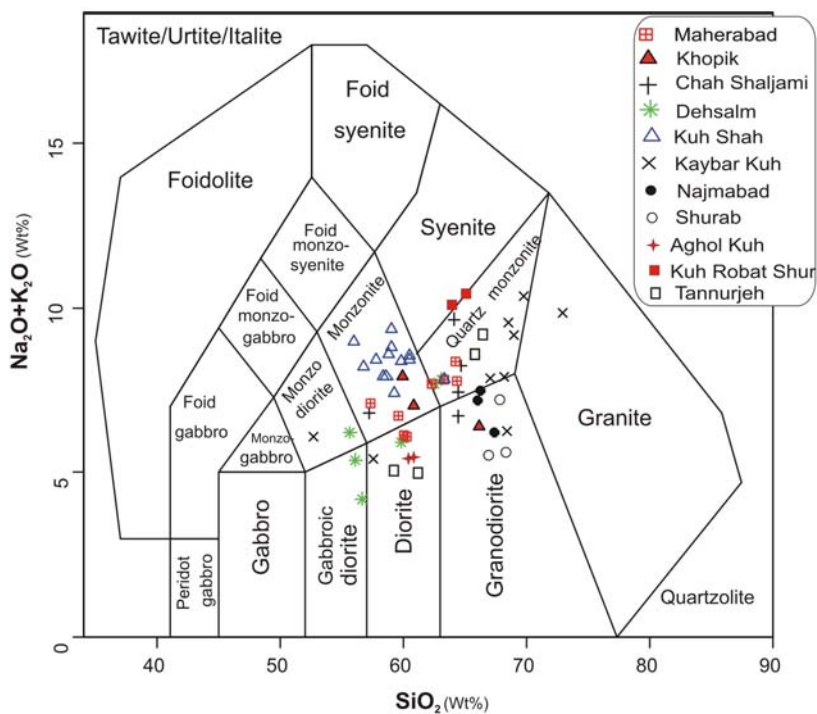
[۴] تجزیه ۵ نمونه از توده‌های نفوذی کمتر آلتره مناطق ماهرا آباد، خوبیک، نجم‌آباد و کیبرکوه برای ایزوتوپ‌های Sm/Nd و Rb/Sr از مناطق چاه‌شلجمی و دهسلم توسط [۱۳] در دانشگاه آویرو پرتابال. تجزیه ۶ نمونه از توده‌های گرانودیوریتی شوراب توسط [۴] برای ایزوتوپ Rb-Sr در دانشگاه مانستر آلمان انجام شده است. ۲ نمونه از مناطق آغل کوه و کوه رباط شور توسط [۱۶] برای ایزوتوپ Rb-Sr نیز تجزیه شده است. ایزوتوپ Rb-Sr نیز در یک نمونه از شمال خور (قله گبند) [۱۵] تجزیه شده است. تجزیه ایزوتوپ‌های رادیوزنیک $\text{Sm}-\text{Nd}$ و Rb-Sr در دانشگاه کلرادوی امریکا بر روی نمونه سنگ کل توسط 8-collector Finnigan MAT 261 Thermal Ionization Mass Spectrometer پس از خردایش و نرمایش برای آن دانشگاه ارسال شد. مقدار four-collector static mode $^{87}\text{Sr}/^{86}\text{Sr}$ با استفاده از measurements اندازه‌گیری شد و نتیجه با نمونه استاندارد $^{87}\text{Sr}/^{86}\text{Sr}=0.71028$ SRM-987 (خطای ۲ سیگما از میانگین) که در حین اندازه‌گیری نمونه‌های مجھول تجزیه شده بود و مقدار 0.71032 ± 2 را نشان داده بود، تصحیح شد. همچنان‌که $^{143}\text{Nd}/^{144}\text{Nd}$ با مقدار $^{143}\text{Nd}/^{144}\text{Nd}=0.7219$ نمونه استاندارد نرمالیز شد. تجزیه با dynamic mode-three-collector measurements گرفت و در طول انجام تجزیه نمونه استاندارد LaJolla Nd نیز بارها تکرار شد که مقدار $0.511838+8$ (2 δ mean) را مشخص کرد. تجزیه ایزوتوپ‌های رادیوزنیک Sm- و Rb-Sr و Nd در دانشگاه آویرو پرتابال بر روی کانیهای پلازیوکلاز، بیوتیت و سنگ کل توسط دستگاه VG Sector 54

آلودگی نیز مربوط به مانگماهای توده‌های نفوذی نجم‌آباد است. شکل (۷) نمودار عنکبوتی مقدار عناصر خاکی کمیاب را که نسبت به مقادیر REE کندریت نرمایش شده‌اند نشان می‌دهد. در نمودارهای عنکبوتی می‌توان مواردی مانند عمق نسبی، تشکیل مانگما، تعیین نوع و درصد کانیهای سنگ منشأ، شرایط ذوب، درصد ذوب، نوع ذوب و نظایر آن را مشخص نمود. ضریب توزیع عناصر بین کانی و مانگما مهمترین عامل تغییرات در ترکیب مانگماهای تولید شده (ذوب) و همچنین تفیق در زمان تبلور است. توزیع عناصر در کانی توسط شعاع یونی، بار یونی، عدد کوئردیناسیون و الکترونگاتیویته کنترل می‌شود. ضریب توزیع عناصر بین کانی و مانگما به عوامل متعددی از قبیل نوع کانی، تغییرات در ترکیب کانی، شرایط ذوب (فسار، میزان آب، فوگاسیته اکسیژن- CO_2) بستگی دارد. عناصری که ضریب توزیع کمتر از یک هستند (نظیر $\text{Lu}, \text{Y}, \text{Yb}$ در کانی گارنت) با ذوب بخشی کم، بخش اعظم این عناصر وارد مانگما می‌شوند. بر عکس عناصری که دارای ضریب توزیع بیش از یک هستند (نظیر La, Ce در کانی گارنت) با ذوب بخشی کم، مقدار جزئی این عناصر وارد مانگما می‌شوند. بنابراین از نسبت $(\text{La}/\text{Yb})_{\text{N}}$ می‌توان حضور گارنت و در نتیجه عمق ذوب را برآورد نمود. همچنین درجه پایین ذوب بخشی گوشته اولیه را می‌توان توسط غنی‌شدگی عناصر خاکی کمیاب سبک (LREE) نسبت به تهی‌شدگی عناصر خاکی سنگین (HREE) تشخیص داد [۳۳]. همانطور که مشخص است غنی‌شدگی در عناصر LREE نسبت به الگوی عناصر HREE در کلیه توده‌های نفوذی مناطق مختلف دیده می‌شود که مخصوص مانگماهای تشکیل شده در زون فرورانش است. همچنین تهی‌شدگی بزرگی در عناصر خاکی کمیاب سنگین (HREE) در توده‌های نفوذی نجم‌آباد دیده می‌شود که با بقیه مناطق تفاوت دارد. نسبت $(\text{La}/\text{Yb})_{\text{N}}$ در این توده‌ها بیش از ۱۷ بوده و تا ۲۳ نیز رسیده است. این موضوع می‌تواند مربوط به تشکیل مانگما در عمق پایداری گارنت باشد که در دیگر نمودارها نیز در ادامه قابل تأیید است (شکل ۷). همچنین نمونه‌های کیبرکوه دارای ناهنجاری منفی بزرگی در عنصر Eu است. این موضوع باشد که در توده‌های نفوذی دیگر مناطق دیده می‌شود و در توده‌های نجم‌آباد ناهنجاری منفی وجود ندارد (شکل ۷).

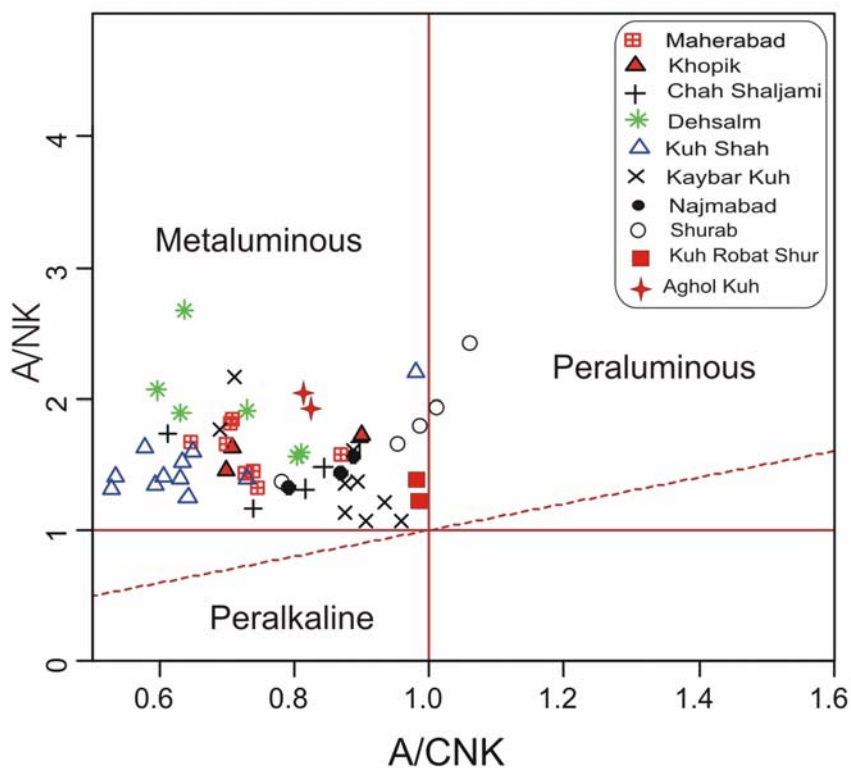
حالی است که کمترین کلسیم (کمتر از ۳ درصد) و منیزیم (کمتر از ۲ درصد) در نمونه‌های منطقه کیبرکوه و کوه رباط شور دیده می‌شود (شکل ۴). بیشترین مقدار در توده‌های $\text{K}_2\text{O}+\text{CaO}+\text{MgO}$ ۱۴ درصد) و کمترین آن در کیبرکوه، شوراب و نجم‌آباد (کمتر از ۸ درصد) مشاهده می‌گردد (شکل ۴).

عناصر فرعی و خاکی کمیاب

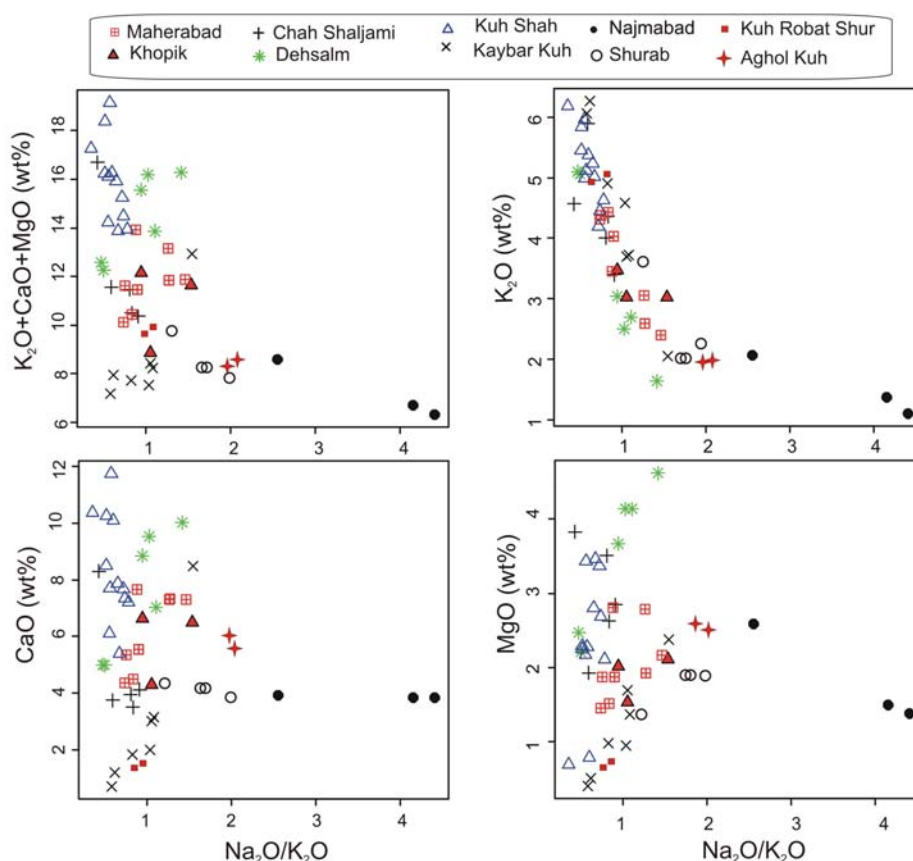
برپایه مقدار عناصر Rb, Yb و Nb در نمودار [۲۷] موقعیت تکتونیکی توده‌های نفوذی مناطق مورد مطالعه، محیط کمریندهای آتشفسانی زون فرورانش (VAG) است. البته نمونه‌های منطقه کیبرکوه به سمت مرز محدوده گرانیتوئیدهای درون صفحه‌ای (WPG) نیز کشیده شده‌اند (شکل ۵). در نمودار مقدار Nb در مقابل $\text{Ce} + \text{Rb} + \text{Nb} + (\text{Ta} \times 100)/(\text{Sr} + \text{Zr})$ (بیش از ۱۷ گرم در تن) در نمونه‌های کیبرکوه دیده می‌شود و پس از آن توده‌های نفوذی چاه شلجمی و ده سلم از Nb بالایی برخوردارند (۱۱ تا ۲۰ گرم در تن در چاه شلجمی و ۸ تا ۲۰ گرم در تن در ده سلم). همچنین نسبت $\text{Ce} + \text{Rb} + \text{Nb} + (\text{Ta} \times 100)/(\text{Sr} + \text{Zr})$ نفوذی این مناطق بالاست (۱۵۰ تا ۴۰۰). بالا بودن این نسبت نشان دهنده بیشتر بودن عناصر Nb, Rb و Ta نسبت به Sr و Zr است. این در حالی است که توده‌های نفوذی مناطق ماهرآباد، خوپیک، کوه شاه و نجم‌آباد از Nb کمتر از ۶ گرم در تن و نسبت $\text{Ce} + \text{Rb} + \text{Nb} + (\text{Ta} \times 100)/(\text{Sr} + \text{Zr})$ کمتر از ۲۰ بروخوردارند (شکل ۶). عناصر Nb و Rb از Ta و Nb و Rb + $(\text{Ta} \times 100)/(\text{Sr} + \text{Zr})$ کاهیدگی نسبت فراوان در پوسته قاره‌ای هستند [۲۸]. کاهیدگی Nb از ویژگیهای تیپیک مانگماهای مشتق شده از پوسته اقیانوسی در زون فرورانش است و افزایش آن اختلاط هرچه بیشتر پوسته قاره‌ای را در مانگما آشکار می‌کند [۲۹]. مقادیر بالای Sr و Nb ممکن است مربوط به حضور هورنبلند و اکسیدهای آهن-تیتان مانند روتیل و ایلمنیت و Nb عدم حضور پلازیوکلاز در منشأ باشد [۳۰]. مقادیر پایین Nb را همچنین به فرآیندهای تهی‌شدگی قبلی در سنگهای گوشته نسبت می‌دهند [۳۱ و ۳۲]. بنابراین مانگماهای منطقه کیبرکوه بیشترین آلایش را با پوسته قاره‌ای نشان می‌دهد و پس از آن مانگماهای مناطق چاه‌شلجمی و ده‌سلم با مانگماهای مشتق شده از پوسته قاره‌ای آلودگی پیدا کرده است. کمترین



شکل ۲. نام‌گذاری توده‌های نفوذی مناطق مورد مطالعه در نمودار [۲۵].



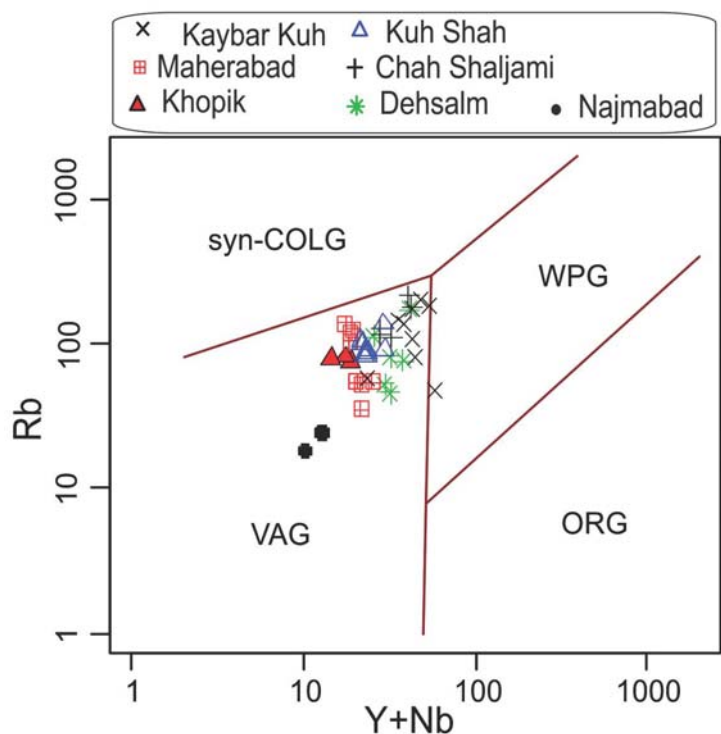
شکل ۳. موقعیت قرارگیری توده‌های نفوذی مناطق مورد مطالعه در نمودار [۲۶]. همه توده‌ها به غیر از دو نمونه از منطقه شوراب، در محدوده متالومینوس قرار می‌گیرند



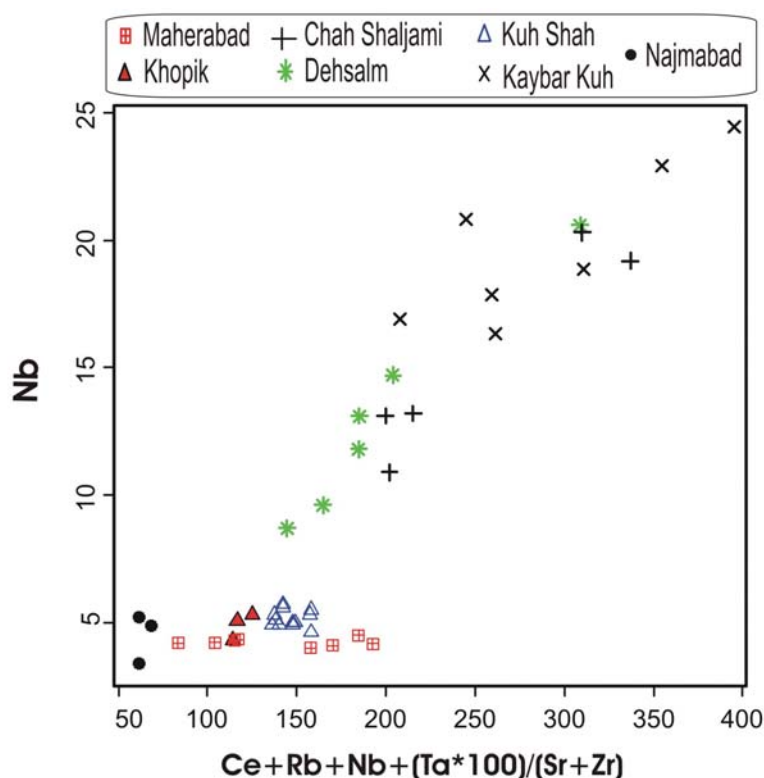
شکل ۴. موقعیت قرارگیری توده‌های نفوذی مناطق مورد مطالعه در نمودار $\text{Na}_2\text{O}/\text{K}_2\text{O}$ و MgO در مقابل CaO , $\text{K}_2\text{O}+\text{CaO}+\text{MgO}$ و $\text{Na}_2\text{O}/\text{K}_2\text{O}$

آلودگی پوسته‌ای شده‌اند، به بیش از ۳۰ می‌رسد. مقدار Eu/Eu^* توده‌های مناطق Maherآباد، خوپیک، چاه‌شلمجی، ده‌سلم و کوه شاه نیز بین ۰/۸ تا ۱ است که نشان دهنده حضور مقدار کمتر و یا نبود پلازیوکلاز در منشأ ماقما و شرایط اکسیدان‌تر محلول (آلودگی کمتر با پوسته قاره‌ای) است. این نسبت در توده‌های نجم‌آباد به بیش از ۱ رسیده که بیانگر عمق بیشتر تشکیل ماقما (عمق پایداری گارتنت) و عدم حضور پلازیوکلاز می‌باشد. الگوی نرمالیز شده عناصر نادر خاکی توده‌های نجم‌آباد نسبت به کندریت نیز این موضوع را تأیید می‌کند (شکل ۸). همچنین بالا بودن Sr (از ۴۰۰ تا بیش از ۱۳۰۰ گرم در تن) در توده‌های نفوذی نجم‌آباد، Maherآباد، خوپیک، چاه‌شلمجی، ده‌سلم و کوه شاه نسبت به مقدار کم این عنصر در نمونه‌های کیبرکوه (از ۶۶ تا حداقل ۵۰۰ گرم در تن)، حضور پلازیوکلاز به عنوان کانی باقی مانده در منشأ ماقما منطقه کیبرکوه و کم بودن یا نبود این کانی در منشأ ماقما دیگر مناطق مورد مطالعه را نشان می‌دهد.

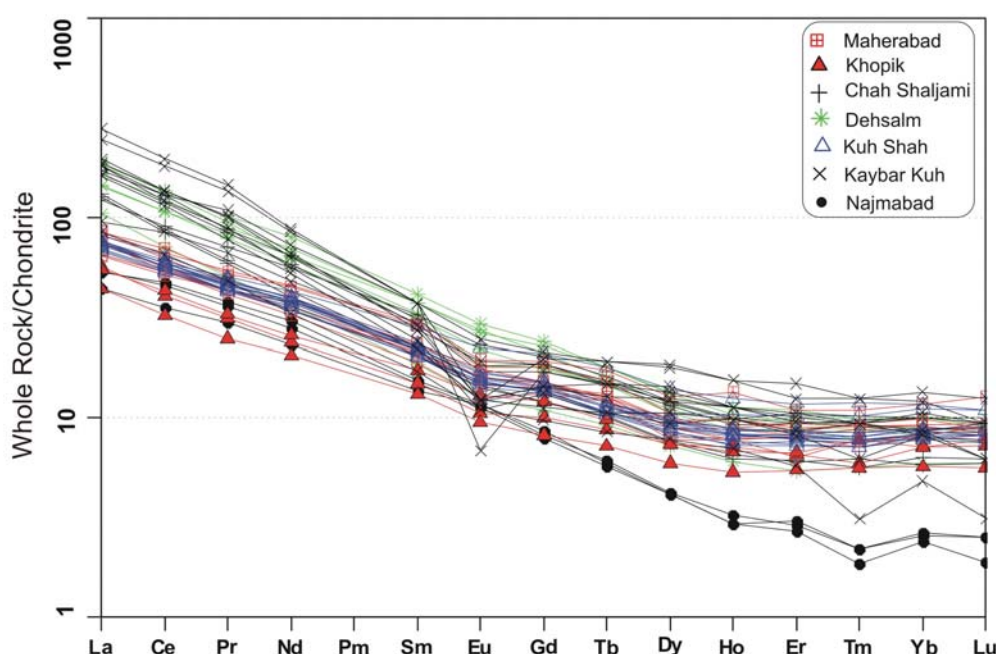
[۳۴] اذعان داشتند که هر گاه مقدار نسبت Eu/Eu^* بیش از ۱ باشد، ناهنجاری مثبت و هرگاه کمتر از ۱ باشد، ناهنجاری منفی است. ناهنجاری منفی Eu می‌تواند به حضور پلازیوکلاز به عنوان کانی باقی مانده در منشأ یا به شرایط احیایی منطقه ذوب ماقما برای منطقه کیبرکوه مربوط باشد. برای مناطق Maherآباد، خوپیک، کوه شاه و نجم‌آباد، غنی‌شدن Sr و فقدان ناهنجاری Eu نشان می‌دهد که کانی پلازیوکلاز در سنگ منشأ به عنوان کانی باقی مانده حضور نداشته و ضمناً شرایط ذوب در حالت اکسیدان بوده است [۳۰ و ۳۵]. همچنین در شکل (۸) مقدار نسبت Eu/Eu^* در مقابل Zr/Nb توده‌های نفوذی مناطق مورد مطالعه مقایسه شده است. توده‌های نفوذی کیبرکوه به دلیل پایین بودن نسبت Zr/Nb (کمتر از ۲) بیشترین آلودگی ماقمایی با پوسته قاره‌ای را نشان می‌دهند. مقدار Eu/Eu^* کمتر از ۰/۸ نیز می‌تواند بیانگر حضور پلازیوکلاز در سنگ منشأ و آلودگی ماقما با پوسته قاره‌ای احیایی باشد. نسبت Zr/Nb در دیگر توده‌های نفوذی بیش از ۱۰ بوده و در نمونه‌های نجم‌آباد که چهار کمترین



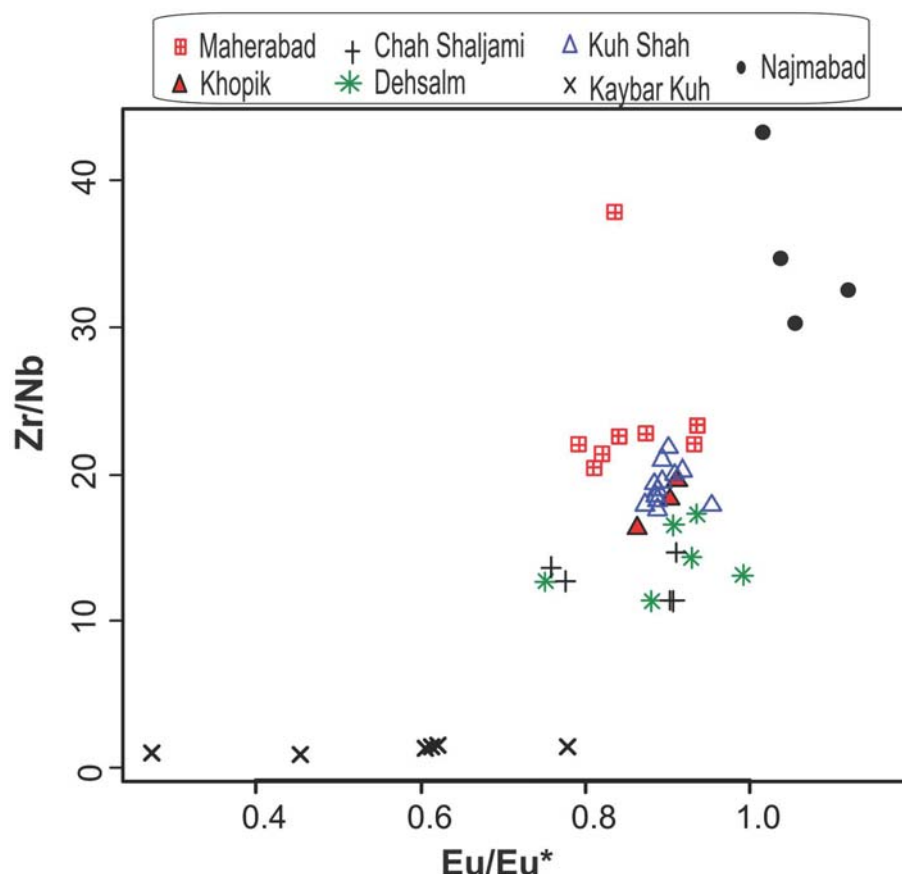
شکل ۵. گرانیت‌های مناطق مورد مطالعه که به طور عمده در محدوده گرانیت‌های قوس آتشفسانی قرار گرفته‌اند [۲۷].
 =VAG =گرانیت‌های قوس آتشفسانی، WPG =گرانیت‌های درون صفحه‌ای، ORG =گرانیت‌های پشتہ میان اقیانوسی،
 syn-COLG =گرانیت‌های همزمان با تصادم قاره‌ها.



شکل ۶. گرانیت‌های مناطق مورد مطالعه در نمودار Nb در مقابل $(Ce + Rb + Nb + (Ta \times 100)) / (Sr + Zr)$



شکل ۷. نمودار عنکبوتی عناصر REE توده‌های نفوذی مختلف ترشیاری بلوک لوت که نسبت به کندریت نرمالیز شده است (مقادیر REE کندریت از [۳۶]).



شکل ۸. گرانیتوئیدهای مناطق مطالعه در نمودار Zr/Nb در مقابل Eu/Eu^*

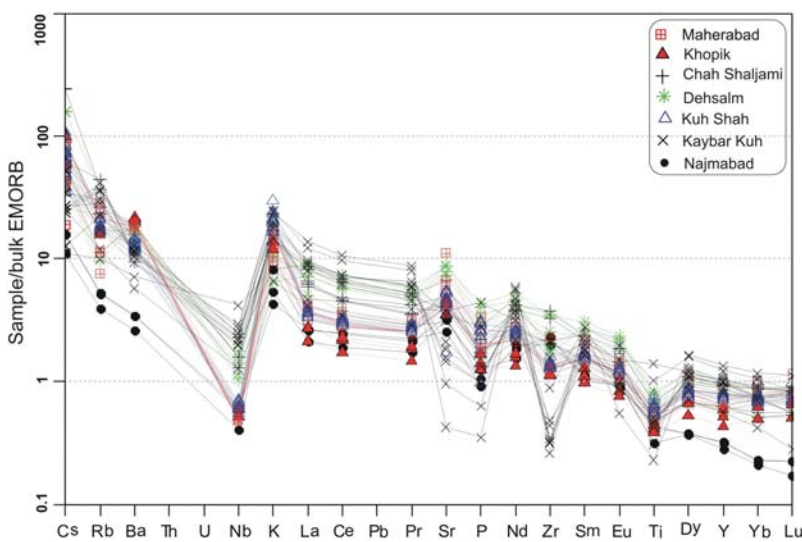
مقدار La/Yb) در توده‌های مناطق ماهرآباد، خوپیک و کوه شاه کمتر از ۱۰ است و این ماگماها از نوع کالک آلکالن نرمال هستند. این نسبت در دهسلم، چاهشلجمی و کیبرکوه بیش از ۱۵ می‌باشد (شکل ۱۰). اما ماگمای کیبرکوه به دلیل پایین بودن مقدار Sr (عده‌تاً کمتر از ۴۰۰ گرم در تن)، بالا بودن نسبت $\text{K}_2\text{O}/\text{Na}_2\text{O}$ و ناهنجاری منفی Eu با ماگمای آداسیتی متفاوت بوده و از نوع کالک‌آلکالن نرمال است. همچنین ماگمای توده‌های نفوذی مناطق دهسلم و چاهشلجمی به دلیل نسبت بالای $\text{K}_2\text{O}/\text{Na}_2\text{O}$ (بین ۰/۵ تا ۲/۳) و نیز تفاوت‌هایی در مقدار ایزوتوب Sr-Nd ، با ماگمای آداسیتی نرمال اختلاف دارد، اما از اکثر جهات شبیه بوده و ممکن است که آداسیتی باشد. توده‌های نجم‌آباد نیز ماهیتی متفاوت با بقیه در شکل ۱۰) دارند که به علت کمتر بودن Yb_N (کمتر از ۴) است. ماگمای این منطقه از نظر مقدار La/Yb_N و Yb_N کاملاً در محیط آداسیتی قرار گرفته است که الگوی عناصر خاکی کمیاب (تهی شدگی شدید عناصر HREE و نبود ناهنجاری منفی Eu ، بالا بودن مقدار Sr (بیش از ۴۰۰ گرم در تن) و سدیک بودن توده‌های نفوذی آن را تأیید می‌کند.

سن سنجی

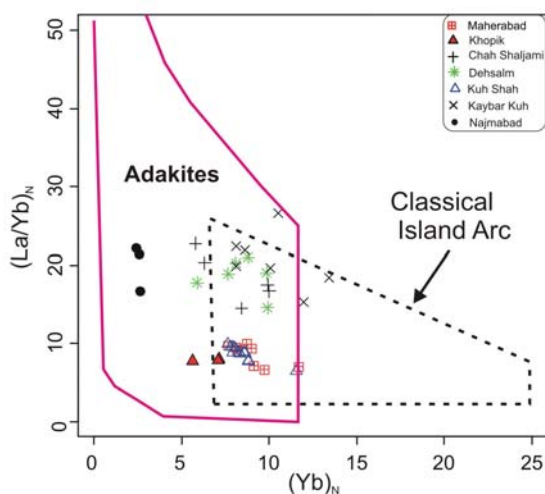
سن سنجی در مناطق ماهرآباد، خوپیک، دهسلم، چاهشلجمی و شوراب بر روی توده‌های نفوذی مرتبط با کانی‌سازی انجام شده است، لذا سن به دست آمده نشان دهنده سن کانی‌سازی مربوطه نیز هست. توده‌های نفوذی کیبرکوه دارای آلتراسیون بوده اما کانی‌سازی محدودی به همراه دارد و در منطقه نجم‌آباد نیز توده‌های ترشیاری فاقد هرگونه کانی‌سازی و آلتراسیون هستند. در مناطق ماهرآباد، خوپیک، کیبرکوه و نجم‌آباد، سن سنجی بر روی کانی زیرکن و با اندازه‌گیری ایزوتوب U-Pb انجام شده است [۷، ۹ و ۱۱]. کانی زیرکن به روش‌های مختلف تعیین سن می‌شود. تعیین سن زیرکن به روش U-Pb-Th (دمای پایداری ایزوتوبی زیرکن تا ۹۵۰ درجه سانتی گراد) بهترین روش سن سنجی سنگهای fission track گرانیت‌وئیدی است. تعیین سن زیرکن به روش U-He برای سن سنجی پدیده‌های حرارتی کمتر از ۲۷۰ درجه سانتی گراد کاربرد دارد. برای تعیین سن رسوبات عهد حاضر از کانی زیرکن به روش U-He استفاده می‌شود.

شکل (۹) نمودار مقدار عناصر فرعی و خاکی کمیاب نرمالیز شده با مقادیر EMORB را نشان می‌دهد. مناطق ماهرآباد، خوپیک و کوه شاه الگوی تقریباً مشابهی دارند، به طوری که غنی‌شدگی در عناصر LILE مانند Rb ، Cs ، K و Ba و Ti دیده می‌شود. تهی شدگی در عناصر HFSE مانند Nb و Ti دیده می‌شود. کاهیدگی Nb و Ti منعکس‌کننده حضور کانیهای Ti [۳۷] و LILE-Ti-Nb دار در منشأ است [۳۸]. غنی‌شدگی عناصر Sr و K از ویژگیهای تیپیک ماگماهای HFSE تولید شده در زون فروزانش است [۲۹]. غنی‌شدگی عنصر Sr همراه با نبود ناهنجاری منفی Eu در این توده‌ها، منعکس کننده نبود پلازیوکلаз در منشأ ماگمات است. توده‌های نفوذی مناطق دهسلم، چاهشلجمی و کیبرکوه نیز غنی‌شدگی در عناصر LILE نسبت به عناصر HFSE نشان می‌دهد، اما الگوی آن کمی متفاوت با ماهرآباد، خوپیک و کوه شاه است. به طوری که مقدار عناصر Rb ، Cs ، K و Ba کمتر و بر عکس عناصر Nb و Ti بیشتر است؛ که این امر می‌تواند نشان دهنده آلایش بیشتر با پوسته قاره‌ای در ترکیب این ماگماها باشد. کاهیدگی زیاد Sr در توده‌های کیبرکوه همراه با ناهنجاری منفی بالای Eu ، تاییدی بر منشأ گرفتن ماگما در شرایط احیایی است. توده‌های نفوذی نجم‌آباد که فاقد کانی‌سازی هستند، همانند دیگر نمودارها الگوی متفاوتی نشان می‌دهند، Rb ، Cs و Ba و نیز عناصر HREE در آن دیده می‌شود. مقدار Nb نیز در ماگمای این منطقه کمترین است (شکل ۸). این مساله مؤید کمترین آلایش ماگما با پوسته قاره‌ای است. شکل (۱۰) نمودار La/Yb_N (را در مقابل Yb_N) نشان می‌دهد که اکثر توده‌های نفوذی (غیر از منطقه نجم‌آباد) در محیط مشترک ماگمای کالک‌آلکالن تیپیک با ماگمای آداسیتی واقع شده‌اند. [۳۹] ترکیب سنگهای آداسیتی را از هورنبلندر آندزیت تا داسیت و ریولیت معرفی می‌کنند. ویژگی ژئوشیمیایی آداسیت‌ها با موارد زیر مشخص می‌شود [۴۰]:

- $\text{MgO} < 3\%$, $\text{Al}_2\text{O}_3 \geq 15\%$, $\text{SiO}_2 \geq 56\%$
- $6 \leq \text{Dr} \leq 42$ درصد، $3.5\% \leq \text{Na}_2\text{O} \leq 7.5\%$ ، نسبت $\text{K}_2\text{O}/\text{Na}_2\text{O}$ کم (حدود ۰/۴۲)، نسبت مولی منیزیم بالا (حدود ۰/۵۱)، مقدار $\text{Cr} \leq ۳۶$ گرم در تن) و $\text{Ni} \leq ۲۴۰$ گرم در تن) و $\text{Sr} \leq ۴۰۰$ گرم در تن) بالا، مقدار HREE بسیار کم، نسبت $\text{Y} \leq 18$ ppm (بیش از ۱۰، $\text{La/Yb}_N \leq 1.8$ ppm و



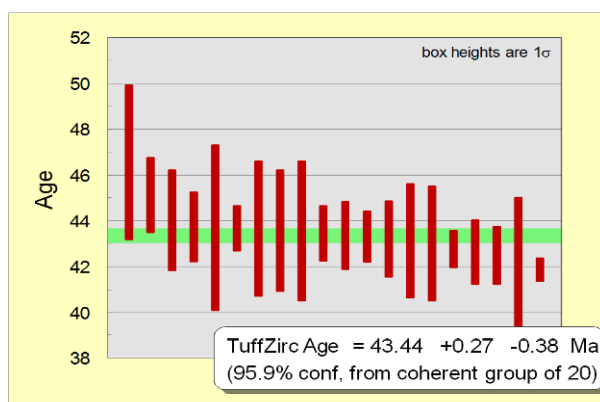
شکل ۹. نمودار عناصر فرعی و REE توده‌های نفوذی مختلف ترشیاری بلوک لوت که نسبت به EMORB نرمالیز شده است (مقادیر از [۳۷]).



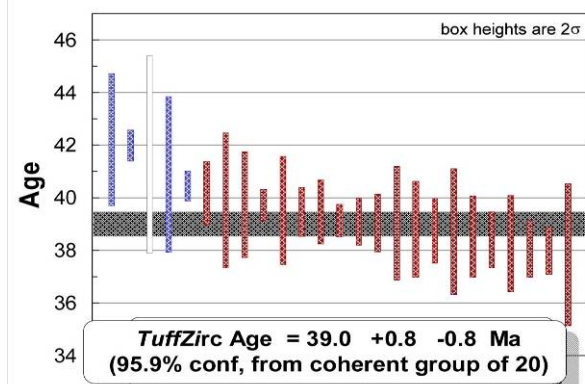
شکل ۱۰. توده‌های نفوذی ترشیاری مناطق مورد مطالعه در نمودار_N (La/Yb) و _N (Yb) [۴۱] که اغلب در محیط مشترک کالک‌آلکالن تیپیک با آدکایت قرار گرفته‌اند.

[۱۳ و ۱۴]. (شکلهای ۱۱ ت و ث). شکل (۱۲) سن توده‌های نفوذی ترشیاری شرق بلوک لوت را همراه با موقعیت مکانی آنها نشان می‌دهد. سن همه گرانیتوئیدها اؤسن تا الیگوسن تحتانی بوده و از ۴۳/۳ میلیون سال در کیبرکوه تا ۳۳/۳ میلیون سال در چاه‌شلجمی کاهش می‌یابد. این کاهش سنی با روند منظمی از شمال به جنوب اتفاق افتاده است. مقایسه سن بازالت‌های ترشیاری بلوک لوت مانند فردوس، قله گنبد و مود نیز همین روند کاهشی را از شمال (۴۲ میلیون سال) به جنوب (۳۱/۴ میلیون سال) (Tarkian et al. 1983) نشان می‌دهد (شکل ۱۲).

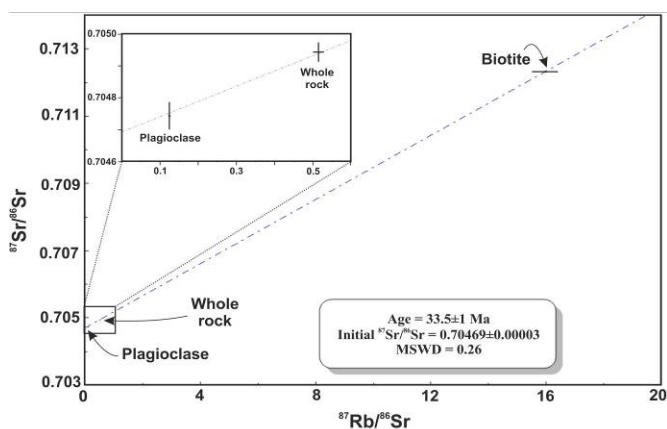
میانگین سن به دست آمده برای توده‌های مونزونیتی ماهرا آباد و خوپیک ۳۹، کیبرکوه ۴۳/۳ و نجم‌آباد ۳۹/۹ میلیون سال است (شکلهای ۱۱ الف تا پ). در مناطق ده‌سلم، چاه‌شلجمی، خور و شوراب نیز سن‌سنجی به روش Rb-Sr بر روی کانیهای جدا شده (پلازیوکلاز و بیوتیت) و سنگ کل و رسم ایزوکرون به دست آمده است. در کوه رباط شور نیز سن‌سنجی به روش K-Ar انجام شده است. توده‌های مونزونیتی مناطق ده‌سلم و چاه‌شلجمی به ترتیب ۳۳/۶ و ۳۳/۳ میلیون سال، توده مونزودیوریتی خور ۳۹/۶ میلیون سال و توده‌های گرانوکلوریتی منطقه شوراب و سینیتی کوه رباط شور به ترتیب میانگین ۴۲/۲ و ۴۲ میلیون سال داشته‌اند.



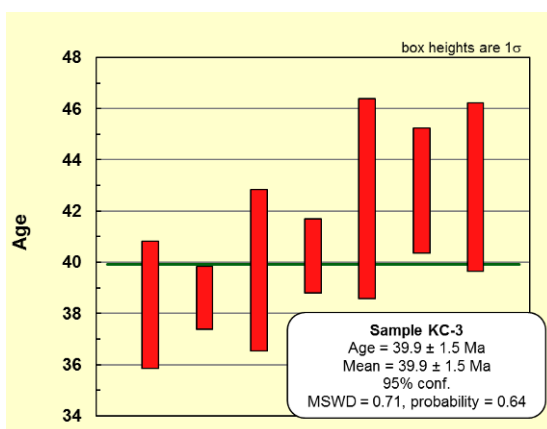
شکل ۱۱ ب. میانگین سن توده‌های نفوذی کیبرکوه.



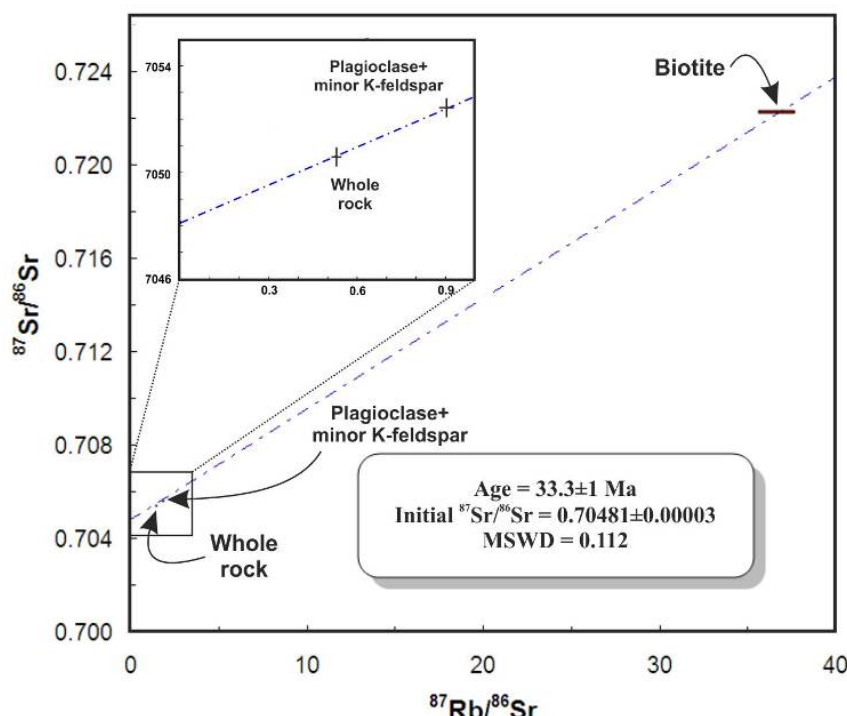
شکل ۱۱ الف. میانگین سن توده‌های نفوذی ماهرآباد و خوپیک.



شکل ۱۱ ت. نمودار ایزوکرون توده نفوذی ده سلم.



شکل ۱۱ پ. میانگین سن توده‌های نفوذی نجم آباد.

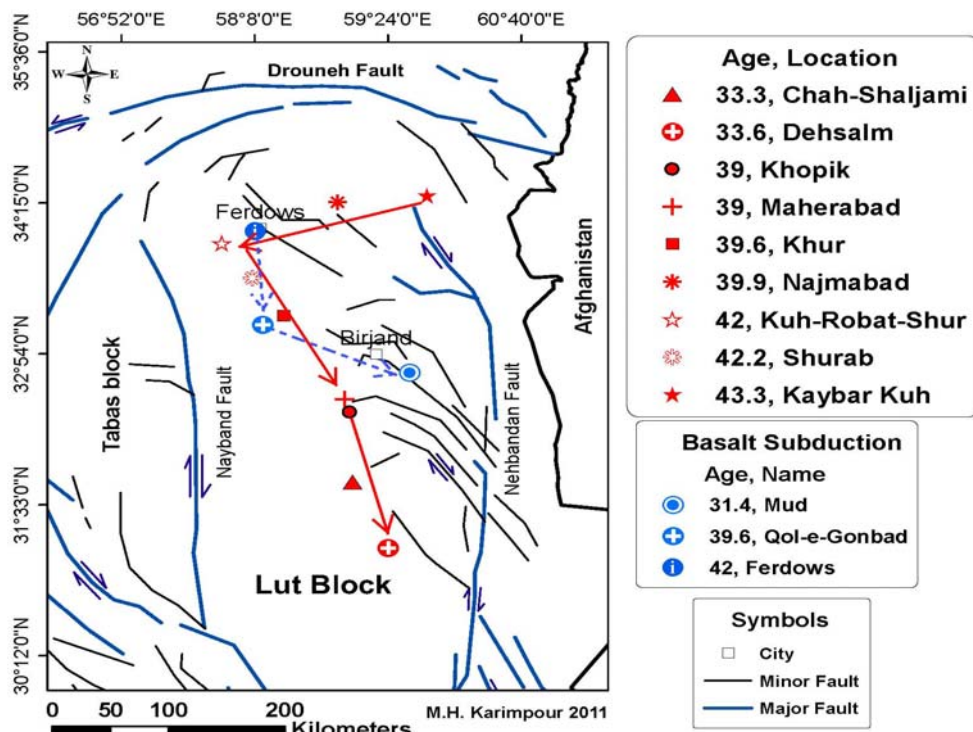


شکل ۱۱ ث. نمودار ایزوکرون توده نفوذی چاه شلجمی.

سنگ کل و سن به دست آمده از نمودارهای ایزوکرون محاسبه شده است [۴]. مقدار $^{87}\text{Sr}/^{86}\text{Sr}$ اولیه در توده‌های نفوذی آغل کوه و خور نیز از تجزیه کانیها و سنگ کل و رسم نمودار ایزوکرون و کوه رباط شور از تجزیه کل سنگ و سن به دست آمده از ایزوتوپ K-Ar محاسبه شده است [۱۶] (جداول ۱ و ۲). شکل (۱۳) مقدار ϵ_{Nd} در مقابل $^{87}\text{Sr}/^{86}\text{Sr}$ اولیه در توده‌های نفوذی ماهراًباد، خوپیک، دهسلم، چاهشلجمی، شوراب، نجم‌آباد و کیبرکوه را نشان می‌دهد.

ایزوتوپ Sm/Nd و Rb/Sr

مقدار $^{143}\text{Nd}/^{144}\text{Nd}$ اولیه در مناطق ماهراًباد، خوپیک، نجم‌آباد و کیبرکوه با تجزیه نمونه سنگ کل و با توجه به سن به سه دست آمده از زیرکن (به ترتیب ۳۹/۹، ۳۹ و ۴۳/۳ میلیون سال) محاسبه شده است [۷، ۹ و ۱۱]. این نسبتها در توده‌های نفوذی دهسلم و چاهشلجمی نیز با تجزیه سنگ کل و با توجه به سن حاصل از نمودارهای ایزوکرون (۳۳ میلیون سال) به دست آمده است [۱۳]. مقدار $^{87}\text{Sr}/^{86}\text{Sr}$ اولیه در توده‌های نفوذی شوراب نیز در دو نمونه سن‌سنجی شده از رسم ایزوکرون و در ۴ نمونه دیگر با تجزیه



شکل ۱۲. سن توده‌های نفوذی ترشیاری مناطق مورد مطالعه همراه با موقعیت مکانی آنها در سن بازالت‌های ترشیاری بلوك لوت. کاهش سن از شمال به جنوب در گرانیت‌وئیدها و بازالت‌ها دیده می‌شود.

بیش از ۰/۷۰۶ و مقدار ϵ_{Nd} کمتر از -۳- دارند و در محدوده ماقماهای حاصل از ذوب بخشی پوسته قاره‌ای قرار گرفته‌اند (شکل ۱۳). ژئوشیمی توده‌های کیبرکوه نشان داد که آنها در کمربند زون فروزانش تشکیل شده‌اند و پذیرفتاری مغناطیسی آنها نیز نشان دهنده ماهیت اکسیدان (سری مگنتیت) گرانیت‌وئیدهای است. بنابراین، مقدار نسبت $^{87}\text{Sr}/^{86}\text{Sr}$ اولیه و ϵ_{Nd} مربوط به آلایش شدید ماقماهی مشتق شده از پوسته اقیانوسی با پوسته قاره‌ای است. ژئوشیمی توده‌های نفوذی

توده‌های نفوذی ماهراًباد، خوپیک، دهسلم و چاهشلجمی مقدار $^{87}\text{Sr}/^{86}\text{Sr}$ بین +۰/۵ تا +۰/۴۹ و مقدار نسبت $^{143}\text{Nd}/^{144}\text{Nd}$ اولیه کمتر از ۰/۷۰۵۵ دارند که نشان دهنده ماقماهی مشتق شده از ذوب بخشی پوسته اقیانوسی است. توده نفوذی نجم‌آباد دارای نسبت $^{87}\text{Sr}/^{86}\text{Sr}$ اولیه کمتر از ۰/۷۰۵۳ و مقدار ϵ_{Nd} برابر +۵/۱۶ است که منعکس کننده آلودگی بین ماقماهی مشتق شده از پوسته اقیانوسی با پوسته قاره‌ای است (شکل ۱۳). توده‌های نفوذی کیبرکوه مقدار نسبت $^{87}\text{Sr}/^{86}\text{Sr}$ اولیه

ایزوتوب‌های $\text{Nd}^{143}/\text{Nd}^{144}$ و $\text{Nd}^{143}/\text{Nd}^{144}$ m و I به دو روش محاسباتی و ترسیمی به دست آوردند [۴۲ و ۴۳].

کیبرکوه از جمله افزایش Nb در این توده‌ها نیز مؤید این موضوع است. مقدار نسبت $^{87}\text{Sr}/^{86}\text{Sr}$ اولیه از شمال به جنوب همراه با کاهش سن توده‌های نفوذی از کیبرکوه به طرف چاه‌شلجمی، از ۰/۷۰۴۷ به ۰/۷۰۴۷ کاسته می‌شود (شکل ۱۴). سن سنگ منشأ مانگما (TDM) را می‌توان با استفاده از نتایج

جدول ۱. مقدار ایزوتوب Rb-Sr توده‌های نفوذی ترشیاری مورد مطالعه.

Sample	AGE (ma)	Rb (ppm)	Sr (ppm)	$^{87}\text{Rb}/^{86}\text{Sr}$	$(^{87}\text{Sr}/^{86}\text{Sr})_m$	$(^{87}\text{Sr}/^{86}\text{Sr})_i$	Uncertainty initial ratio	Ref.
Khopik	۳۹	۶۶/۱	۴۹۳	۰/۳۸۷۳	۰/۷۰۴۹۷۰	۰/۷۰۴۷۵۵	۰/۰۰۰۰۹	ملک‌زاده (۱۳۸۸)
Maherabad	۳۹	۴۹/۱	۹۰۶	۰/۱۵۶۵	۰/۷۰۴۹۵۰	۰/۷۰۴۸۶۳	۰/۰۰۰۱۰	ملک‌زاده (۱۳۸۸)
Najmabad	۳۹/۹	۱۷/۵	۳۶۵	۰/۱۳۸۵	۰/۷۰۵۲۰۰	۰/۷۰۵۱۲۲	۰/۰۰۰۰۹	مرادی و همکاران (در حال چاپ)
Kayber Kuh	۴۲	۷۱/۶۹۱	۵۲۰/۱۲	۰/۳۹۸۳	۰/۷۰۶۳۹۱	۰/۷۰۶۱۵۳	۰/۰۰۰۰۷	کریم‌پور و سلطانی (۱۳۸۹)
Kayber Kuh	۴۲	۱۶۰/۲۱	۲۱۲/۱۵	۲/۱۸۲۵	۰/۷۰۸۱۱۸	۰/۷۰۶۸۱۶	۰/۰۰۰۱۰	کریم‌پور و سلطانی (۱۳۸۹)
Dehsalm	۳۳	۴۹	۱۲۱۰	۰/۱۱۷	۰/۷۰۴۷۵۲	۰/۷۰۴۷۵۲	۰/۰۰۰۱۵	ارجمندزاده (۱۳۹۰)
Dehsalm	۳۳	۸۵/۷	۱۱۳۹	۰/۲۱۸	۰/۷۰۵۱۷۹	۰/۷۰۵۱۷۹	۰/۰۰۰۱۲	ارجمندزاده (۱۳۹۰)
Dehsalm	۳۳	۸۰/۲	۱۳۳۹	۰/۱۷۳	۰/۷۰۴۸۹۳	۰/۷۰۴۸۹۳	۰/۰۰۰۱۱	ارجمندزاده (۱۳۹۰)
Dehsalm	۳۳	۱۱۵/۵	۶۸۳/۵	۰/۴۸۹	۰/۷۰۵۰۹۴	۰/۷۰۵۰۹۴	۰/۰۰۰۱۲	ارجمندزاده (۱۳۹۰)
Dehsalm	۳۳	۱۸۰/۳	۶۷۴/۸	۰/۷۷۳	۰/۷۰۵۲۱۴	۰/۷۰۵۲۱۴	۰/۰۰۰۱۹	ارجمندزاده (۱۳۹۰)
Dehsalm	۳۳	۶۳/۸	۱۳۷۳	۰/۱۳۴	۰/۷۰۵۰۱۶	۰/۷۰۵۰۱۶	۰/۰۰۰۱۸	ارجمندزاده (۱۳۹۰)
Dehsalm	۳۳	۱۹۹	۶۳۷	۰/۹۰۴	۰/۷۰۵۲۴۴	۰/۷۰۵۲۴۴	۰/۰۰۰۱۶	ارجمندزاده (۱۳۹۰)
Chah Shaljami	۳۳	۱۰۱/۸	۷۱۷/۶	۰/۴۱	۰/۷۰۵۲۱	۰/۷۰۵۲۵۱	۰/۰۰۰۱۳	ارجمندزاده (۱۳۹۰)
Chah Shaljami	۳۳	۶۵/۳	۵۱۸/۶	۰/۳۶۴	۰/۷۰۵۰۹۷	۰/۷۰۵۰۹۷	۰/۰۰۰۱۳	ارجمندزاده (۱۳۹۰)
Chah Shaljami	۳۳	۱۰۹	۳۶۱	۰/۸۷	۰/۷۰۵۲۲۶	۰/۷۰۵۲۲۶	۰/۰۰۰۱۳	ارجمندزاده (۱۳۹۰)
Chah Shaljami	۳۳	۱۰۹	۸۱۱	۰/۳۹	۰/۷۰۵۶۲۷	۰/۷۰۵۶۲۷	۰/۰۰۰۱۸	ارجمندزاده (۱۳۹۰)
Chah Shaljami	۳۳	۲۲۲/۵	۵۹۸/۲	۱/۰۷۶	۰/۷۰۶۰۰۷	۰/۷۰۶۰۰۷	۰/۰۰۰۱۴	ارجمندزاده (۱۳۹۰)
Chah Shaljami	۳۳	۱۳۱/۷	۷۰۰/۵	۰/۵۴۴	۰/۷۰۵۱۲۹	۰/۷۰۵۱۲۹	۰/۰۰۰۱۱	ارجمندزاده (۱۳۹۰)
Shurab	۴۲/۷	۸۱/۷	۶۰۲/۵	۰/۳۹۲۷	۰/۷۰۵۸۳	۰/۷۰۵۴۲	۰/۰۰۰۱۹	لطفی (۱۹۸۲)
Shurab	۴۱/۳	۴۰/۲	۵۹۷/۳	۰/۱۹۵۱	۰/۷۰۴۹۱	۰/۷۰۴۸۰	۰/۰۰۰۵۱	لطفی (۱۹۸۲)
Shurab	۴۲/۲	۸۹/۲	۸۵۴/۳	۰/۳۰۲۳	۰/۷۰۵۵۷	۷۰۵۳۹		لطفی (۱۹۸۲)
Shurab	۴۲/۲	۱۰۹/۷	۱۰۴۱/۲	۰/۳۰۵۲	۰/۷۰۵۳۶	۰/۷۰۵۱۸		لطفی (۱۹۸۲)
Shurab	۴۲/۲	۸۹/۸	۴۳۳۲	۰/۱۶۰۰۶	۰/۷۰۵۸۵	۰/۷۰۵۴۹		لطفی (۱۹۸۲)
Shurab	۴۲/۲	۵۶/۸	۸۱۶	۰/۲۰۱۵	۰/۷۰۵۴۰	۰/۷۰۵۲۸		لطفی (۱۹۸۲)
Aghol-Kuh		۵۲	۶۵۷/۷	۰/۰۹۷	۰/۷۰۴۹۴	۰/۷۰۴۸	۰/۰۰۰۱۶	Jung et al. 1983
Kuh-Rubat-Shur	۴۲	۱۷۰/۷	۱۵۹/۴	۳/۱۰۲۷	۰/۷۰۶۹۰	۰/۷۰۵۱	۰/۰۰۰۰۷	Jung et al. 1983
Khur	۳۹/۶	۱۵۱/۹	۷۸۴/۵	۰/۱۵۶۰۶	۰/۷۰۵۰۶	۰/۷۰۴۷	۰/۰۰۰۳	Tarkian et al. 1983

m= measured. Errors are reported as 2σ (95% confidence limit).

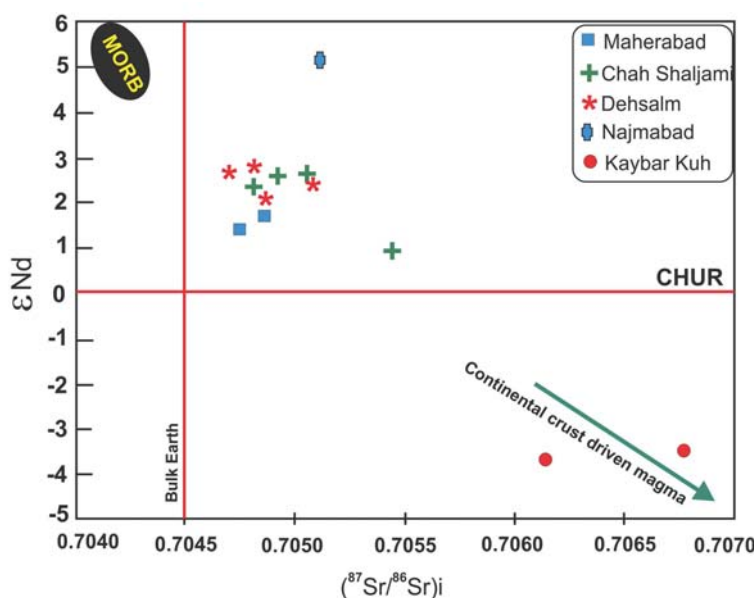
اکسیدهای اصلی، عناصر فرعی و خاکی کمیاب و ایزوتوب‌های Rb/Nd و Sm/Nd در مآگمای منطقه کیبرکوه قابل تأیید است. همچنین توده‌های نفوذی بدون کانی‌سازی نجم‌آباد از جوانترین پوسته اقیانوسی به سن ۳۶۰ میلیون سال منشأ گرفته و کمترین آلودگی با پوسته را دارد. ژئوشیمی کاملاً متفاوت مآگمای این منطقه مانند سدیک بودن، الگوی متفاوت REE، آداکیتی بودن ماهیت مآگما، تفاوت در مقدار Nd و غیره این موضوع را اثبات می‌کند. مآگمای مناطق دهسلم و چاه‌شلجمی نیز که در برخی موارد ژئوشیمی متفاوتی با مآگمای مناطق ماهرآباد و خوپیک نشان می‌دادند نیز از پوسته‌های اقیانوسی جداگانه‌ای منشأ گرفته‌اند که حدود ۲۰۰ میلیون سال با یکدیگر اختلاف سنی داشته‌اند.

براساس روش محاسباتی، مآگمای گرانیتوئیدی مناطق نجم‌آباد، چاه‌شلجمی، دهسلم، ماهرآباد و خوپیک به ترتیب از پوسته قدیمی با سن حداقل ۳۶۰، ۴۴۰، ۴۶۰ و ۶۲۰ میلیون سال قبل منشأ گرفته است (شکلهای ۱۵ الف و پ). همچنین مآگمای گرانیتوئیدی منطقه کیبرکوه از پوسته قدیمی با سن حداقل ۸۴۰ میلیون سال حاصل شده است (شکلهای ۱۵ ب و پ). این مسئله نشان می‌دهد که هرچند همه این توده‌های نفوذی سن ائوسن تا الیگوسن تحتانی را با اختلاف سنی حدود ۱۰ میلیون سال دارند، ولی از پوسته‌های اقیانوسی متفاوتی منشأ گرفته‌اند. به طوری که مآگمای منطقه کیبرکوه از قدیمی ترین پوسته اقیانوسی در حال فرورانش، نشأت گرفته و بیشترین آلایش پوسته‌ای را در طی صعود متحمل شده است. این موضوع توسط ژئوشیمی متفاوت

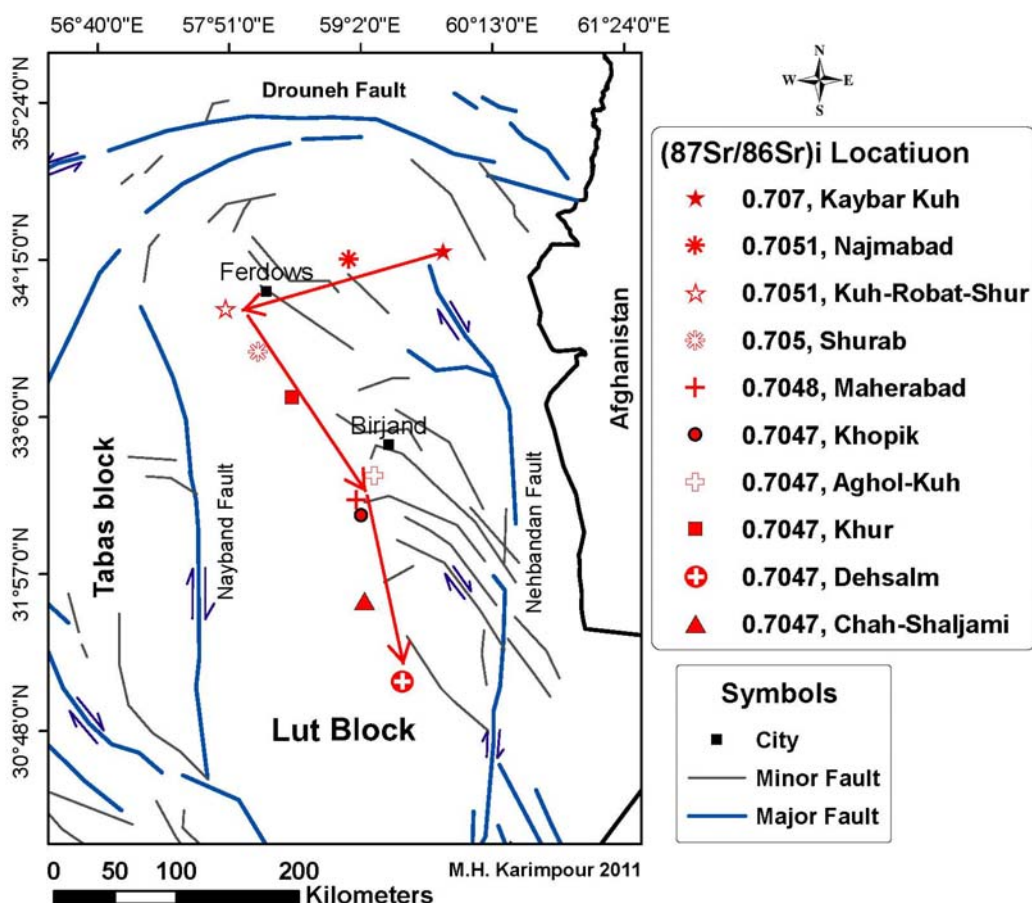
جدول ۲. مقدار ایزوتوب Sm-Nd توده‌های نفوذی ترشیاری مورد مطالعه (سنها و مرجع هر منطقه مانند جدول (۱) است).

Sample	Sm (ppm)	Nd (ppm)	$^{147}\text{Sm}/^{144}\text{Nd}$	$(^{143}\text{Nd}/^{144}\text{Nd})_M$	$^{143}\text{Nd UNC}$	$(^{143}\text{Nd}/^{144}\text{Nd})_i$	ϵ_{Nd_M}	ϵ_{Nd_I}
Khopik	۲/۴۰	۱۱/۶۳	۰/۱۲۵۱	۰/۵۱۲۶۹۴	۰/۰۰۰۰۳۲	۰/۵۱۲۶۶۲	۱/۰۹	۱/۴۵
Maherabad	۴/۲۹	۲۰/۴۵	۰/۱۲۶۹	۰/۵۱۲۷۱۳	۰/۰۰۰۱۲۰	۰/۵۱۲۶۸۱	۱/۴۶	۱/۸۱
Najmabad	۲/۶۹	۱۱/۶	۰/۱۴۰۷	۰/۵۱۲۸۸۸	۰/۰۰۰۰۳۲	۰/۵۱۲۸۵۱	۴/۸۸	۵/۱۶
Kayber Kuh	۶/۵۳۶	۳۸/۳۹	۰/۱۰۳۰	۰/۵۱۲۴۲۴	۰/۰۰۰۰۱۲	۰/۵۱۲۳۹۶	-۴/۱۷	-۳/۶۷
Kayber Kuh	۵/۱۴۴	۳۱/۳۸۲	۰/۰۹۹۲	۰/۵۱۲۴۳۲	۰/۰۰۰۰۱۲	۰/۵۱۲۴۰۵	-۴/۰۲	-۳/۵۰
Dehsalm	۷/۲	۳۸/۶	۰/۱۱۳		۰/۰۰۰۰۱۵	۰/۵۱۲۷۷۲		۲/۰۸
Dehsalm	۶/۱۴	۳۴/۷	۰/۱۰۷		۰/۰۰۰۰۱۲	۰/۵۱۲۷۱۴		۱/۸۴
Dehsalm	۸/۰۳	۴۷/۹	۰/۱۰۱		۰/۰۰۰۰۱۱	۰/۵۱۲۷۳۳		۲/۲۵
Dehsalm	۳/۶۲	۲۱/۶	۰/۱۰۱		۰/۰۰۰۰۱۲	۰/۵۱۲۶۹۶		۱/۵۲
Dehsalm	۶/۲۵	۳۸/۶	۰/۱		۰/۰۰۰۰۱۹	۰/۵۱۲۷۱		۱/۸
Dehsalm	۷/۲۷	۳۸/۶	۰/۱۱۴		۰/۰۰۰۰۱۸	۰/۵۱۲۷۴۸		۲/۴۹
Dehsalm	۶/۷۳	۴۰/۱	۰/۱۰۲		۰/۰۰۰۰۱۶	۰/۵۱۲۷۴۵		۲/۴۷
Chah Shaljami	۴/۳۱	۲۶/۲	۰/۱		۰/۰۰۰۰۱۳	۰/۵۱۲۷۳		۲/۲
Chah Shaljami	۴/۵۳	۲۶/۱	۰/۱۰۵		۰/۰۰۰۰۱۳	۰/۵۱۲۷۲۹		۲/۱۶
Chah Shaljami	۵/۲۲	۲۷/۶	۰/۱۱۵		۰/۰۰۰۰۱۳	۰/۵۱۲۷۱۸		۱/۸۸
Chah Shaljami	۴/۰۸	۲۴/۴	۰/۱۰۱		۰/۰۰۰۰۱۸	۰/۵۱۲۶۴۴		۰/۵
Chah Shaljami	۵/۷۴	۳۴/۷	۰/۱		۰/۰۰۰۰۱۴	۰/۵۱۲۷۲۴		۲/۰۸
Chah Shaljami	۴/۱۷	۲۵/۵	۰/۰۹۹		۰/۰۰۰۰۱۱	۰/۵۱۲۷۵۶		۲/۷

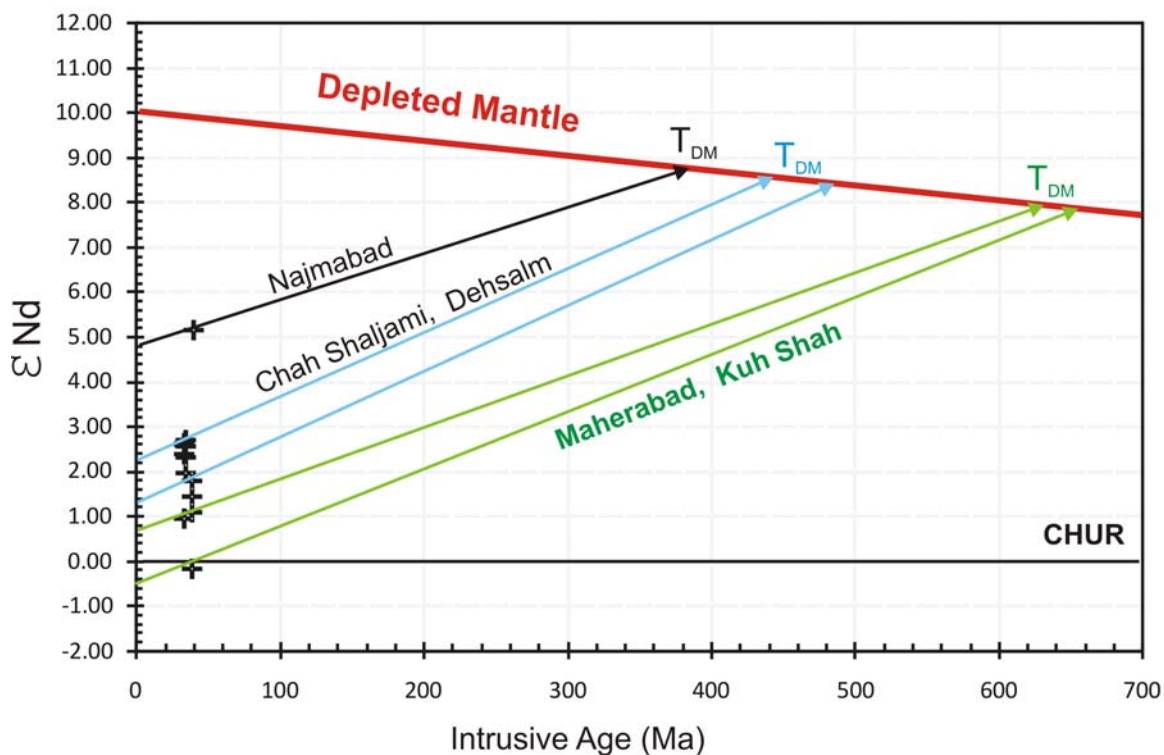
m= measured. Errors are reported as 2σ (95% confidence limit).



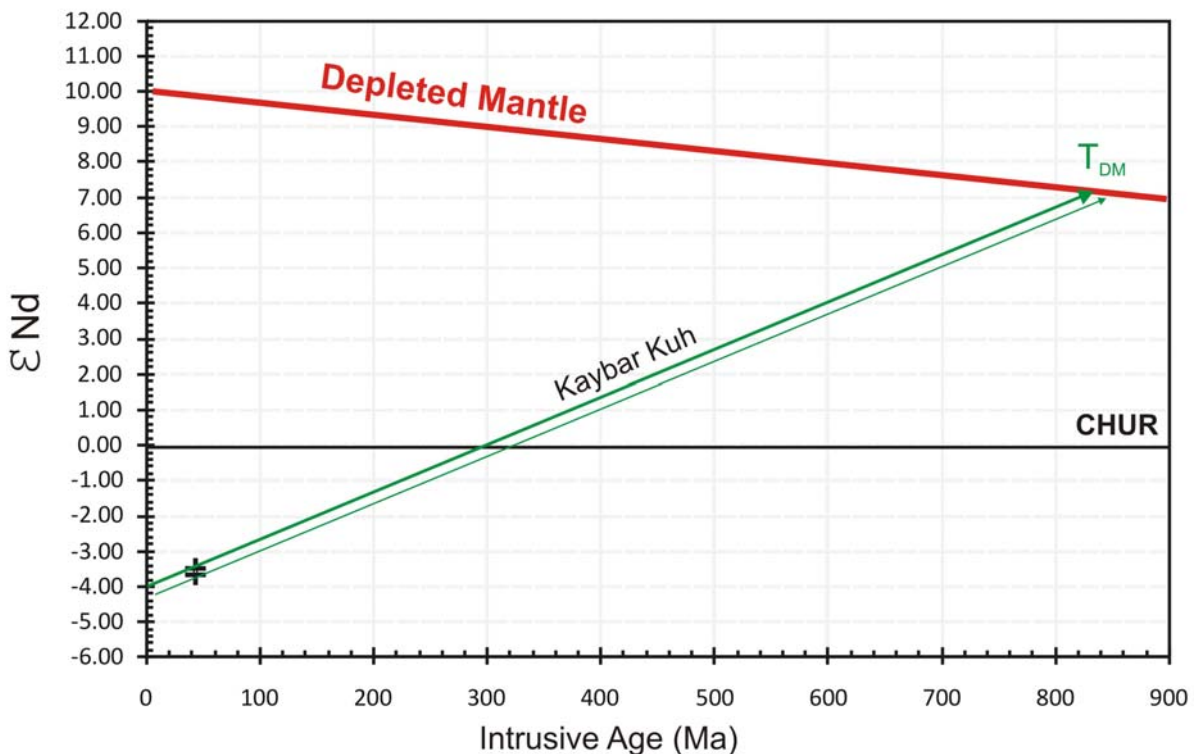
شکل ۱۳. موقعیت قرارگیری توده‌های نفوذی ترشیاری مورد مطالعه در نمودار ϵ_{Nd} در برابر $(^{87}\text{Sr}/^{86}\text{Sr})_i$ (نمودار اولیه از [۴۴]).



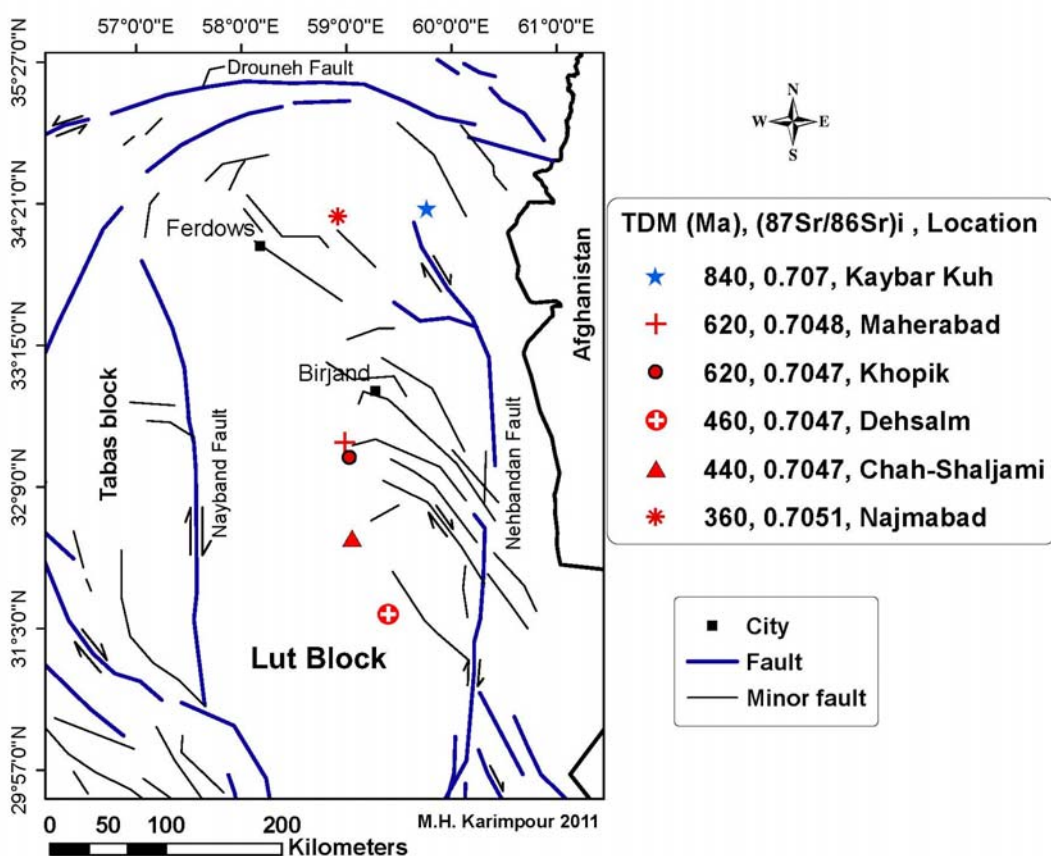
شکل ۱۴. توده‌های نفوذی ترشیاری مناطق مورد مطالعه همراه با موقعیت مکانی آنها. کاهش $(^{87}\text{Sr}/^{86}\text{Sr})_i$ از شمال به جنوب در گرانیت‌های دیده می‌شود.



شکل ۱۵ الف. نمودار تعیین سن سنگ منشأ توده‌های نفوذی ترشیاری در مناطق نجم‌آباد، چاه‌شلجمی، Maherabad و خوپیک.



شکل ۱۵ ب. نمودار تعیین سن سنگ منشأ توده‌های نفوذی ترشیاری در منطقه کیبرکوه.



شکل ۱۵ پ. سن سنگ منشأ توده‌های نفوذی ($^{87}\text{Sr}/^{86}\text{Sr}$) و موقعیت مکانی توده‌های نفوذی ترشیاری مناطق مورد مطالعه.

کانی‌سازی هستند. آلتراسیون گستره‌های شامل پتاسیک، کوارتز- سرسیت- پیریت و پروپولیتیک در مطالعات سطحی و زیرسطحی شناسایی شد. کانی‌سازی به شکل استوکورک، افشار و کمتر برش هیدرورتمالی دیده می‌شود. کانیهای سولفیدی و اکسیدی اولیه شامل پیریت، کالکوپیریت، بورنیت، مگنتیت، اسفالریت و گالن است. توده‌های مونزونیتی منشأ همراه با آلتراسیون پتاسیک بوده و بیشترین ناهنجاری مس و طلا (به ترتیب تا ۲ درصد مس و تا ۲ گرم در تن طلا) همراه با تراکم بالای رگه‌چهای کوارتز- سولفیدی (بیش از ۲۰ رگه‌چه در مترمربع) در آنها دیده می‌شود. تراکم رگه‌چه‌ها در زون کوارتز- سرسیت- پیریت در برخی نقاط به بیش از ۶۰ رگه‌چه در مترمربع می‌رسد و بخشی از کانی‌سازی مس- طلا، همراه با این زون تشکیل شده است. آلتراسیون پروپولیتیک نیز در حاشیه دیده می‌شود و مقدار رگه‌چه‌ها تا ۲ عدد در مترمربع در آن کاهش یافته است. وجود توده‌های نفوذی نیمه عمیق با بافت پورفیری، گسترش و نوع آلتراسیون، شکل، نوع و گسترش کانی‌سازی، ناهنجاری بالای مس و طلا، مطالعات

کانی‌سازی ترشیاری بلوك لوت به واسطه داشتن موقعیت‌های تکتونیکی مختلف در زمانهای گذشته و به دنبال آن وجود حجم عظیم مagma می‌باشد و بیزگیهای ژئوشیمیایی متفاوت، دارای پتانسیل بسیار مناسبی برای تشکیل کانی‌سازیهای مختلف است. اکتشاف کانسارهای مختلف در شرق ایران و ارائه راهکارهای مناسب برای این کار، در یک برنامه چند ساله در دانشگاه فردوسی مشهد مدنظر قرار گرفته است. تصویر موقعیت مکانی، سن و نوع کانسارهای شناخته شده در شرق بلوك لوت (تاکنون) در شکل (۱۶) نشان داده شده است.

مس- طلا پورفیری *

منطقه ماهرآباد و خوپیک: مناطق اکتشافی ماهرآباد و خوپیک اولین کانسارهای مس- طلا پورفیری در شرق ایران هستند که توسط [۷] مورد مطالعات تفصیلی قرار گرفت. در این مناطق توده‌های نفوذی مونزونیتی نیمه عمیق (سری مگنتیت) به سن ۳۹ میلیون سال (اوسن میانی) منشأ اصلی

کالکوپیریت مهمترین سولفیدهای اولیه هستند. کانی‌سازی عمدهاً به صورت پراکنده در متن سنگ و مقدار کمتر در فضای درزهای تشکیل شده است. سولفید اولیه (که کمتر اکسیده شده) در دو منطقه بخش شمالی و آبراهه اصلی تا ۴ درصد به صورت پراکنده در سنگ و پرکننده درزهای مشاهده می‌شود. در اکثر مناطق سولفیدهای اولیه اکسیده شده است. میزان اکسیدهای آهن ثانویه بین $0/3$ تا 8 درصد متغیر است. شدت اکسیداسیون منطقه نسبتاً زیاد بوده است. آثار کانی‌سازی مس به ندرت در منطقه مشاهده می‌شود [۵]. آغل کوه و کوه رباط سور: مناطق آغل کوه و کوه رباط سور نیز همراه با آثاری از کانی‌سازی مس است که تاکنون مورد مطالعه دقیق قرار نگرفته است. اما به نظر می‌رسد این مناطق برای کانی‌سازی مس پورفیری پتانسیل داشته باشند که تأیید آن نیاز به بررسی تفصیلی دارد.

• طلای اپی‌ترمال سولفید بالا مرتبط با مس پورفیری منطقه چاه‌شلجمی: در منطقه چاه‌شلجمی، توده‌های نفوذی موزن‌زنیتی به شکل دایک به سن $33/3$ میلیون سال (الیگوسن تحتانی) در سنگهای آتشفسانی نفوذ نموده‌اند که بخشی از رخنمون سنگ منشأ کانی‌سازی وسیع منطقه هستند. آلتراسیون گسترده کوارتز حفره‌دار، آلونیتی، سرسیتیک، کلریتی- سرسیتی و آرژیلیک پیشرفت‌هایی که از اطراف با زون پروپلیتیک احاطه شده است، در منطقه دیده می‌شود. کانی‌سازی سولفیدی عمدهاً به صورت افshan و کمتر رگ‌چه شامل پیریت، مگنتیت، مولیبدنیت، کالکوپیریت، گالن، اسفالریت، انارژیت و آرسنوتیپیریت در برخی نقاط وجود دارد. ناهنجاریهایی از عناصر طلا، مس، سرب، روی، بیسموت، آرسنیک و آنتیموان در ناحیه مشاهده می‌گردد. شواهد زمین‌شناسی، آلتراسیون، کانی‌سازی، سیالات درگیر و ژئوشیمی نشان دهنده وجود یک کانی‌سازی طلای اپی‌ترمال سولفید بالا می‌باشد که احتمالاً در عمق با کانی‌سازی مس پورفیری در ارتباط است [۱۳].

منطقه کوه شاه: در منطقه کوه شاه، توده‌های عمدهاً موزن‌زنیتی که سن دقیق آنها در دست بررسی است، در واحدهای آتشفسانی ترشیاری نفوذ نموده و موجب آلتراسیون گسترده و کانی‌سازی شده‌اند. بنابراین سن این کانی‌سازی نیز در پنجره ترشیاری است. آلتراسیون آرژیلیک پیشرفت‌های

سیالات درگیر و ژئوشیمی توده‌های نفوذی و مطالعات ایزوتوپی آنها (ژئوشیمی و ایزوتوپ در این مقاله بحث شد) نشان می‌دهد که مناطق ماهرآباد و خوپیک، یک کانی‌سازی مس- طلا پورفیری هستند [۷].

منطقه ده‌سلم: توده‌های نفوذی دیوریتی تا گرانیتی سری مگنتیت ده‌سلم به سن $33/6$ میلیون سال (الیگوسن تحتانی) در مجموعه سنگهای آتشفسانی منطقه نفوذ کرده و موجب آلتراسیون گسترده پتانسیک، سرسیت- رسی، اپیدوتی، سرسیت- کلسیت- کوارتز، سیلیسی و پروپلیتیک شده‌اند. کانی‌سازی به شکل استوکورک و افshan دیده می‌شود و شامل پیریت، کالکوپیریت، بورنیت، مگنتیت، مولیبدنیت، طلا، سولفوسالت، آرسنوتیپیریت، دیژنیت، اسفالریت و گالن است. عناصر طلا، مولیبدن و مس عمدهاً در زون‌های پتانسیک و سرسیت- کلسیت- کوارتز و عناصر سرب، روی، آرسنیک، آنتیموان و بیسموت بیشتر در زون‌های حاشیه‌ای غنی شده‌اند. وجود توده‌های نفوذی نیمه عمیق با بافت پورفیری، آلتراسیون گسترده و نوع آن، ناهنجاری عنصر مس و دیگر عناصر، مطالعات سیالات درگیر و ژئوشیمی توده‌های نفوذی و مطالعات ایزوتوپی آنها (ژئوشیمی و ایزوتوپ در این مقاله بحث شد)، نشان دهنده کانی‌سازی مس پورفیری در منطقه ده‌سلم و اسکارن مس پورفیری است [۱۳].

منطقه تنورجه: زمین‌شناسی منطقه تنورجه شامل انواع توده‌های نفوذی نیمه عمیق با ترکیب دیوریت تا موزن‌زنیت است که در سنگهای آتشفسانی ترشیاری نفوذ نموده‌اند. برپایه مطالعات صحرایی- آزمایشگاهی، انواع زون‌های آلتراسیون پروپلیتیک، سرسیتیک، آرژیلیک و سیلیسی در منطقه تنورجه مشاهده می‌شوند. مجموعه زون‌های آلتراسیون در منطقه‌ای به وسعت تا ۲ کیلومتر رخنمون دارند. توزیع و گسترش زون‌های آلتراسیون با توده‌های نفوذی همخوانی بسیار نزدیکی دارند. آلتراسیون منطقه تنورجه دارای ساختار خطی نبوده و از تأثیر مستقیم محلولهای مرتبط با توده‌های نفوذی تشکیل شده‌اند. آلتراسیون سیلیسی مناطق وسیعی را تحت تأثیر قرار داده است. زون سیلیسی به چند حالت یافت می‌شود که مهمترین آنها عبارتند از: سیلیس دانه ریز به رنگ خاکستری با حفرات بسیار کوچک که بخش‌های وسیعی را شامل می‌شود، سیلیس به صورت رگ‌چه‌ای که فضای درزهای را پرکرده است و سیلیس اضافه شده به متن سنگ. پیریت و مقدار جزئی

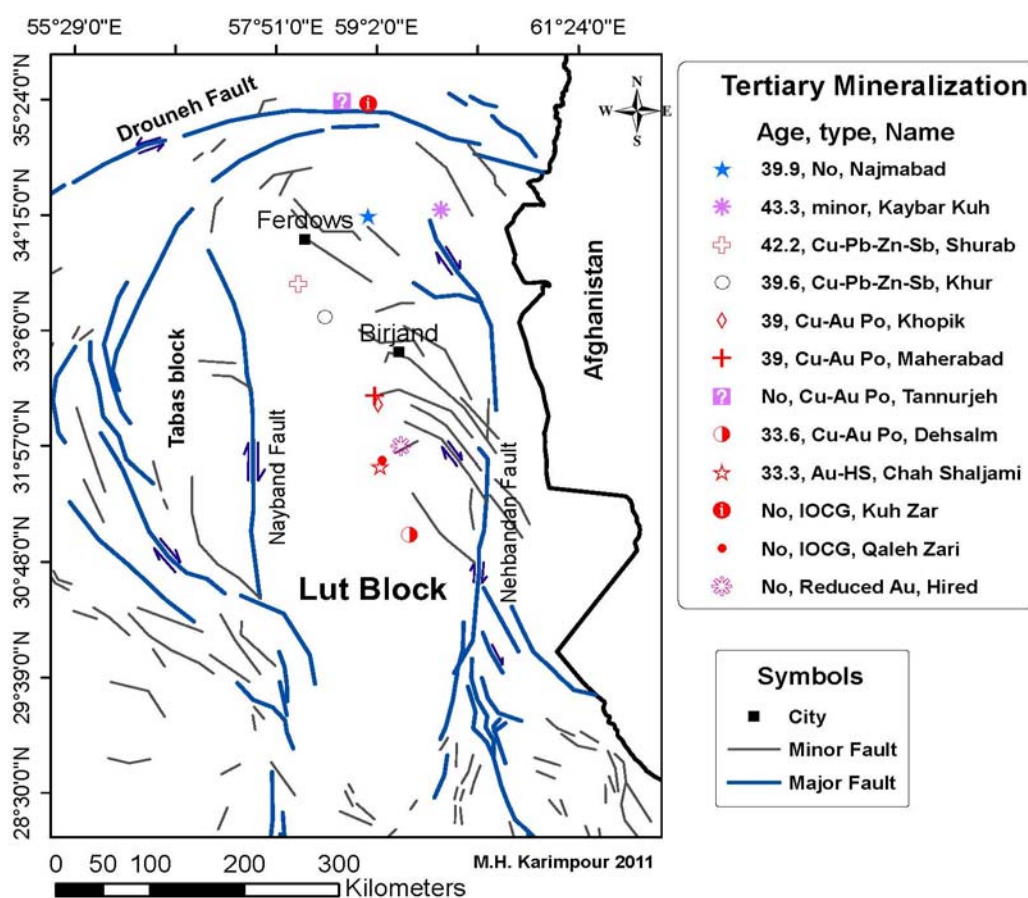
قلع بین ۳۰ - ۵۸۰ گرم در تن متغیر است. وجود سنگ منشأ گرانیتی احیایی، کانی‌سازی استوکورک با ماهیت احیایی (آرسنوبیریت و پیروتیت)، آلتراسیون تورمالین و ناهنجاری طلا و قلع، نشان دهنده کانی‌سازی قلع- طلا در منطقه هیرد است که بیشترین شباهت را با سیستمهای طلای مرتبط با توده‌های نفوذی احیایی دارد [۴۵].

کانی‌سازی رگه‌ای پلی‌متال منطقه شوراب: در منطقه شوراب، توده‌های نیمه عمیق به سن ۴۲/۲ میلیون سال با ترکیب گرانودیوریت در سنگهای آتشفشاری نفوذ کرده و موجب آلتراسیون سرسیتیک و آرژیلیک و کانی‌سازی رگه‌ای مس، سرب و روی و آنتیموان شده‌اند. کانی‌سازی این منطقه در امتداد گسلهایی با روند عمدتاً شمال‌غربی- جنوب‌شرقی شکل گرفته و شامل پیریت، کالکوبیریت، بورنیت، اسفالریت، گالن، تتراهریت، بورنوتیت- بولانژریت و استیبنیت است. شکل و نوع کانی‌سازی، آلتراسیون خطی در حریم گسلها و مطالعات سیالات درگیر (دما و شوری پایین) نشان دهنده کانی‌سازی اپی‌ترمال است [۴].

منطقه خور: پنج منطقه دارای آثار کانی‌سازی مس، سرب و روی رگه‌ای شامل اثر معدنی شکسته سبز، حوض داغ، میرخاش، غارکفتری، و شورک در سنگهای نفوذی- آتشفشاری شمال خور دیده می‌شود. گسلهایی با روند شمال‌غربی- جنوب‌شرقی کانه‌زایی را کنترل کرده است. سنگ میزبان کانی‌سازیها سنگهای آتشفشاری هستند که توده‌های نفوذی در آنها نفوذ کرده و احتمالاً عامل تشکیل کانی‌سازی هستند. بافت پرکننده فضای خالی مهمترین بافت کانی‌سازی است. کانی‌سازی به جز در منطقه شورک شامل کانیهای پیریت، ملاکیت، کالکوزیت، کولولیت، کوبیریت، مس طبیعی و اکسیدهای آهن ثانویه است. در اندیس شورک علاوه بر کانی‌سازی مس در قالب کانیهای بورنیت و کالکوبیریت، کانی‌سازی اسفالریت و گالن هم دیده می‌شود. مهمترین کانیهای باطله کلسیت و کوارتز هستند. آلتراسیون‌های سیلیسی، پروپلیتیک، کربناتی، سرسیتیک و آرژیلیک همراه با کانی‌سازیها رگه‌ای مشاهده می‌شوند [۱۹].

آلونیتی، سیلیسی، کوارتز- سرسیت- پیریت و پروپلیتیک در منطقه دیده می‌شود که وسیعترین آن زون آرژیلیک است. کانی‌سازی سولفیدی عمدتاً به شکل پراکنده و کمتر رگه‌چهای و برش هیدروترمالی وجود دارد که بیش از ۹۰ درصد آن به اکسید آهن ثانویه تبدیل شده و زون گوسان وسیعی را در منطقه به وجود آورده است. ناهنجاریهایی از عناصر مس و طلا در ناحیه دیده شده که در حال مطالعات تفصیلی است. شواهد زمین‌شناسی، آلتراسیون، کانی‌سازی و ژئوشیمی نشان دهنده حضور یک سیستم طلای اپی‌ترمال سولفید بالا مرتبط با کانی‌سازی مس پورفیری در عمق است که تأیید آن در دست بررسی است [۸].

• طلا مرتبط با توده‌های نفوذی احیایی
منطقه هیرد: منطقه اکتشافی هیرد در ۱۶۰ کیلومتری جنوب بیرجند واقع شده است. زمین‌شناسی منطقه شامل سنگهای آندزیتی- داسیتی اوسن تا میوسن است که مورد نفوذ توده‌های دیوریتی تا میکروگرانودیوریتی قرار گرفته‌اند. این توده‌ها را می‌توان به دو بخش گرانیتوئیدهای تیپ اکسیدان و احیایی تقسیم بندی کرد. توده‌های نفوذی احیایی نقش اساسی در کانی‌سازی ایفا نموده‌اند. سن دقیق توده‌های نفوذی کانی‌ساز منشخص نیست، اما براساس شواهد صحرایی و نفوذ این واحدها در سنگهای آتشفشاری اوسن تا میوسن، می‌باشد پس از میوسن باشد. کانی‌سازی استوکورک، رگه‌ای و جانشینی دیده می‌شود. کانی‌سازی اسنوکورک در توده‌های احیایی همراه با آلتراسیون غنی از تورمالین مشاهده می‌گردد. کانی‌شناسی رگه‌چه‌ها شامل آرسنوبیریت، پیریت، پیروتیت، کالکوبیریت، اسفالریت، گالن، تورمالین، کوارتز، کلریت، کلسیت و سرسیت است. طلا در رگه‌چه‌های سیلیسی- سولفیدی- تورمالینی وجود دارد. آلتراسیون‌های پروپلیتیک، سیلیسی، سرسیتیک و تورمالینی در منطقه وجود دارد که در این میان زون‌های تورمالین دار از ۵۲۰۰- ۴۰۰۰ میلی‌گرم در تن، آرسنیک بین ۱۰۰ - ۱۰۰۰ گرم در تن، نقره تا حداقل ۱۲۵ گرم در تن، مس بین ۶۰ - ۸۰۰ گرم در تن، سرب بین ۷۰ - ۲۰۶۰۰ گرم در تن، روی تا حداقل ۲۴۰۰ گرم در تن، آنتیموان بین ۳۰ - ۲۰۰ گرم در تن و



شکل ۱۶. سن توده‌های نفوذی مناطق مورد مطالعه، نوع کانی‌سازی و موقعیت مکانی آنها در شرق بلوک لوت.

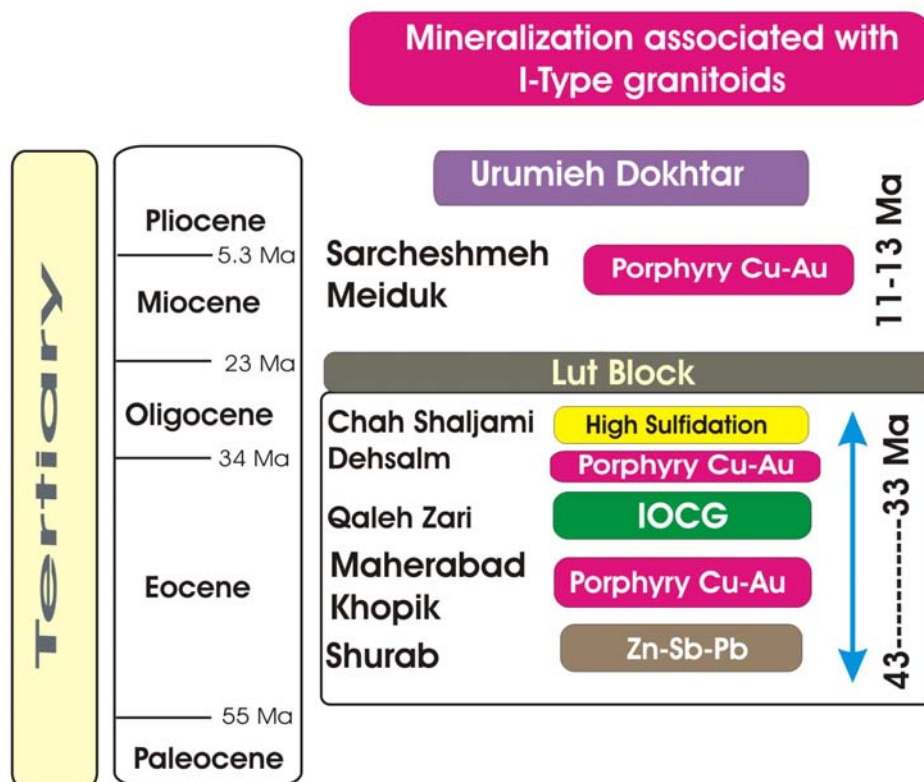
یک کانسار IOCG غنی از اسپیکیولاریت معرفی کرده است. این معدن ویژگیهای بارزی همانند عیار بالای مس- نقره و طلا، محلول کانه‌دار اکسیدان به واسطه حضور اسپیکیولاریت فراوان، نبود مگنتیت و آپاتیت، مقدار کم پیریت و سیال کانه‌دار با حرارت بالا تا متوسط و شوری کم دارد. البته اختلافاتی نیز بین این کانی‌سازی و کانسارهای IOCG دیده می‌شود که عبارتند از: شوری کم سیال کانه‌دار، نبود مگنتیت و آپاتیت و کم بودن عنصر REE و P. این اختلافات به موقعیت تکتونیکی، عمق مagma تیسم، منشأ magma، درجه ذوب بخشی، شرایط فیزیکوشیمیایی ذوب، میزان بالآمدگی، هضم پوسته، درجه تفریق و عمق جایگزینی بستگی دارد [۴۸].

کانسار کوه‌زرا: منطقه کوه‌زرا در غرب تربت حیدریه واقع شده است. بخش بزرگی از ناحیه توسط سنگهای آتشفسانی اسیدی تا حد واسطه ترشیاری زیرین پوشیده شده است. توده‌های نفوذی شامل مونزونیتی تا گرانیتی در سنگهای آتشفسانی نفوذ کرده که سن دقیق آنها مشخص نیست. کانی‌سازی از نوع

کانسارهای مس- طلا همراه با اکسید آهن (IOCG) •
معدن قلعه‌زرا: کانسار Cu-Au-Ag غنی از اسپیکیولاریت قلعه‌زرا در ۱۸۰ کیلومتری جنوب بیرجند واقع شده است. سن دقیق این کانی‌سازی مشخص نیست، اما براساس شواهد صحرابی و سن سنگ میزبان آتشفسانی که ائوسن میانی (۴۷ میلیون سال پیش) تعیین شده [۴۶]، سن این کانی‌سازی نیز پس از ائوسن میانی است، لذا یکی از کانی‌سازیهای ترشیاری در بلوک لوت است. محمدی و همکاران [۴۷] توده‌های نیمه عمیق منطقه را در حد مونزوگابرو تا مونزونیت پورفیری شناسایی کردند. بخش اعظم کانی‌سازی با گسلهای با روند شمال‌غربی- جنوب‌شرقی دیده می‌شود. بافت پرکننده فضای خالی مهمترین بافت کانی‌سازی در منطقه است. مجموعه کانیایی شامل اسپیکیولاریت، کوارتز، کلریت، کالکوپیریت، سولفوسالت، پیریت و گالن است. عیار مس در منطقه بین ۲ تا ۹ درصد، نقره ۱۰۰ تا ۶۵۰ گرم در تن و طلا بین ۰/۵ تا ۳۵ گرم در تن می‌باشد [۴۸]. کریمپور [۴۸] معدن قلعه‌زرا را

می‌شوند، لکن به لحاظ پاره‌ای ویژگیها از جمله عیار طلا، عناصر فرعی همراه، زون‌های دگرسانی و توده‌های نفوذی همراه با آنها اختلاف دارد. این منطقه به نام ذخایر طلای نوع غنی از اکسیدآهن (IOCG) یا نوع غنی از اسپکیولاریت معروفی شده است [۶]. شکل (۱۷) دامنه زمانی مهم کانی‌سازی‌های مرتبط با گرانیت‌وئیدهای سری مگنتیت (نوع I) را همراه با نوع کانی‌سازی در بلوك لوت نشان می‌دهد. براساس سن‌سنجی‌های انجام شده به نظر می‌رسد فاصله زمانی بین ۴۲ تا ۳۳ میلیون سال قبل (آنسن میانی تا اوایل الیگوسن) که به احتمال زیاد فرورانشی در شرق ایران به وقوع پیوسته و ماقماتیسم گستردۀ از نوع اکسیدان با ویژگی‌های ژئوشیمیایی خاص که در بالا بحث شد، به وجود آمده است، مهمترین بازه زمانی برای تشکیل انواع کانسارها در بلوك لوت بوده است. انواع کانی‌سازی مس- طلا پورفیری، طلای اپی‌ترمال سولفید بالا و IOCG در این دامنه سنی تشکیل شده است.

رگه‌ای بوده و در زونهای گسلی تشکیل شده است. کانی‌سازی به چند حالت از جمله برش‌های گرمایی، داربستی، پرکننده زون‌های گسلی و رگه‌چهه‌ای کششی یافت می‌شود. آتراسیون‌های پروپلیتیک، سیلیسی، آلبیتی و مقدار جزئی آرژیلیک و کربناتی دیده می‌شود. دگرسانی سیلیسی با کانی‌سازی همراه بوده و بر زون‌های گسلی منطبق است. غالباً همراه با سیلیس، اسپکیولاریت و طلا یافت می‌شود. دگرسانی پروپلیتیک در ناحیه گسترش زیادی دارد. دگرسانی سرسیتیک فقط در حریم توده‌های نفوذی مشاهده می‌شود. کانی‌سازی شامل طلا، اسپکیولاریت، باریت، کالکوپیریت، گالن، اسفالریت، پیریت، آلانیت و مقادیر جزئی بورنیت، پیروتیت و آرسنوبیریت است. در زون‌های کانی‌سازی عیار مس تا ۱/۲٪ و طلا بین ۰/۲ تا ۱ ppm تغییر می‌کند. براساس خصوصیات کانی‌شناسی، پاراژن، کانی‌سازی و شرایط ژئوشیمیایی سیستم کانی‌سازی طلا در منطقه کوهز مر مشابه بخش‌های بسیار کم‌عمق سیستم‌های مس- طلای نوع اکسید آهن (IOCG) است که با فاصله نسبت به توده نفوذی تشکیل



شکل ۱۷. نمایش زمان مهم کانی‌سازی‌های مختلف در بلوك لوت که مرتبط با گرانیت‌وئیدهای نوع I (سری مگنتیت) و زون فرورانش بوده‌اند.

گارنت) و عدم حضور پلاژیوکلاز است. توده‌های نفوذی مناطق ماهرآباد، خوپیک و کوه شاه در الگوی نرم‌الایز شده نسبت به EMORB، غنی‌شدگی در عناصر LILE مانند K, Cs, Rb و Ba و تهی‌شدگی در عناصر HFSE مانند Nb و Ti نشان می‌دهند. در توده‌های نفوذی مناطق دهسلم، چاهشلجمی و کیبرکوه، مقدار عناصر Rb, K, Cs و Ba کمتر و برعکس عناصر Nb و Ti بیشتر است؛ که این امر می‌تواند بیانگر آلایش بیشتر با پوسته قاره‌ای در ترکیب این ماغماها باشد. توده‌های نفوذی نجم‌آباد کاهیدگی شدیدی در عناصر LILE مانند Rb, K, Cs و Ba و نیز عناصر HREE نشان می‌دهند. این مساله مؤید کمترین آلایش ماغما با پوسته قاره‌ای است. همه این توده‌ها غیر از نجم‌آباد در محدوده مشترک ماغمای کالک‌آلکالن نرمال با آداکیتی قرار دارند و توده‌های نجم‌آباد نیز به علت کمتر بودن Yb_N (کمتر از ۴٪) در محدوده آداکیت است. مقدار La/Yb_N ، الگوی عناصر خاکی کمیاب (تهی شدگی شدید عناصر HREE و نبود ناهنجاری منفی Eu)، بالا بودن مقدار Sr (بیش از ۴۰۰ گرم در تن) و سدیک بودن توده‌های نفوذی نجم‌آباد این موضوع را تأیید می‌کند. سن گرانیت‌وئیدها اؤسن تا الیگو سن تحتانی بوده و از $43/3$ میلیون سال در کیبرکوه تا $33/3$ میلیون سال در چاهشلجمی کاهش می‌یابد. این کاهش سنی با روند منظمی از شمال به جنوب اتفاق افتاده است. مقدار نسبت $^{87}\text{Sr}/^{86}\text{Sr}$ اولیه نیز از شمال به جنوب همراه با کاهش سن توده‌های نفوذی از کیبرکوه به طرف چاهشلجمی، از $0/70\text{--}70/0$ به $70/47\text{--}0/0$ کاسته می‌شود. توده‌های نفوذی ماهرآباد، خوپیک، دهسلم و چاهشلجمی مقدار Nd_N بین $0/5\text{--}0/5$ و مقدار نسبت $^{87}\text{Sr}/^{86}\text{Sr}$ اولیه کمتر از $70/55\text{--}0/0$ دارند که نشان دهنده ماغمای مشتق شده از ذوب بخشی پوسته اقیانوسی است. توده نفوذی نجم‌آباد نیز ضمن نسبت $^{87}\text{Sr}/^{86}\text{Sr}$ اولیه کمتر از $70/53\text{--}0/0$ ، مقدار Nd_N در حدود $5/16\text{--}5/0$ دارد که منعکس کننده کمترین آلودگی بین ماغمای مشتق شده از پوسته اقیانوسی با پوسته قاره‌ای است. مقدار نسبت $^{87}\text{Sr}/^{86}\text{Sr}$ اولیه بیش $70/0\text{--}70/6$ و مقدار Nd_N کمتر از $-3/-3$ در توده‌های نفوذی کیبرکوه آلودگی ماغما با پوسته قاره‌ای را تأیید می‌کند. سن سنگ منشأ ماغمای گرانیت‌وئیدی مناطق نجم‌آباد، چاهشلجمی، دهسلم، ماهرآباد و خوپیک به ترتیب از پوسته قدیمی با سن حداقل 360 , 440 , 460 , 620 و 620 میلیون سال قبل منشأ گرفته است. همچنین ماغمای

نتیجه‌گیری

توده‌های نفوذی ترشیاری مطالعه شده از نوع گرانیت‌وئیدهای اکسیدان و متعلق به سری مگنتیت هستند. ترکیب توده‌ها در مناطق کیبرکوه، نجم‌آباد، ماهرآباد، خوپیک، کوه شاه، سوراب، آغل‌کوه، دهسلم و چاهشلجمی از دیوریت تا گرانیت متغیر است ولی اغلب مونزنوتی می‌باشند. این توده‌ها عمدتاً از نوع متال‌لومینوس بوده و در کمربند زون فروزانش تشکیل شده‌اند. توده‌های نفوذی کوه شاه دارای بیشترین مقادیر K_2O (بیش از ۴ درصد) هستند و بقیه توده‌ها که کم و بیش همراه با کانی‌سازی هستند، نیز عمدتاً غنی از پتابسیم می‌باشند. در حالی که توده‌های نفوذی بدون کانی‌سازی منطقه نجم‌آباد با داشتن نسبت $\text{Na}_2\text{O}/\text{K}_2\text{O}$ بیشتر از $2/5$ ، از نوع سدیک هستند. بیشترین مقدار CaO و MgO در منطقه دهسلم و کوه شاه و کمترین آن در نمونه‌های کیبرکوه و کوه رباط شور دیده می‌شود. مقدار Nb بالا (بیش از ۱۷ گرم در تن)، Rb و Ta بیشتر نسبت به Sr و پایین بودن نسبت Zr/Nb (کمتر از ۲) در توده‌های نفوذی کیبرکوه نسبت به دیگر مناطق نشان دهنده آلودگی ماغما با پوسته قاره‌ای است. پس از این منطقه بیشترین آلایش پوسته‌ای در توده‌های دهسلم و چاهشلجمی دیده می‌شود. کمترین Nb در نمونه‌های نجم‌آباد است که کمترین اختلاط ماغما با پوسته قاره‌ای را نشان می‌دهد. نسبت Zr/Nb در نجم‌آباد که دچار کمترین آلودگی پوسته‌ای شده‌اند، به بیش از 30 می‌رسد. نتایج ایزوتوپ ناپایدار و مقدار Nd_N نیز این موضوع را تأیید می‌کند. غنی‌شدگی در عناصر LREE نسبت به الگوی عناصر HREE در کلیه توده‌های نفوذی مناطق مختلف دیده می‌شود که مخصوص ماغمای تشكیل شده در زون فروزانش است. تهی‌شدگی بزرگ عناصر La/Yb_N در توده‌های نفوذی نجم‌آباد و نسبت Eu/Eu در توده‌های نفوذی نجم‌آباد تشکیل ماغما در عمق پایداری بیش از 17 تا 23 نشان دهنده تشكیل ماغما در منفی بزرگی گارنت است. نمونه‌های کیبرکوه دارای ناهنجاری منفی بزرگی در عنصر Eu است. مقدار Eu/Eu^* کمتر از $0/8$ نیز می‌تواند بیانگر حضور پلاژیوکلاز در منشأ و آلودگی با پوسته قاره‌ای احیایی باشد. مقدار Eu/Eu^* توده‌های مناطق ماهرآباد، خوپیک، چاهشلجمی، دهسلم و کوه شاه نیز بین $0/8\text{--}1/0$ است که نشان دهنده ذوب در شرایط اکسیدان و آلودگی کمتر با پوسته قاره‌ای است. این نسبت در توده‌های نجم‌آباد به بیش از یک رسیده که مؤید عمق بیشتر تشكیل ماغما (عمق پایداری

تشکر و قدردانی

این پژوهه با حمایت مالی دانشگاه فردوسی مشهد در ارتباط با طرح پژوهشی شماره ۲ به شماره ۱۸۴۴۵/۲ مورخ ۹۰/۴/۲۸ از طرح پژوهه انجام شده است. از جوچ گرلز و ویکتور ولنسیا از گروه علوم زمین دانشگاه آریزونا برای انجام آنالیز سن سنجی سپاس گزاری می‌شود.

منابع

- [1] Stocklin J., "Structural history and tectonics of Iran", A review-Amer. Ass. Petrol. Geol. Bull. 52 (7): (1968) 1229-1258.
- [2] Stocklin J., Nabavi M. H., "Tectonic map of Iran", Geological Survey of Iran (1973).
- [۳] آقاباتی ع.، "زمین‌شناسی ایران"، سازمان زمین‌شناسی و اکتشافات معدنی کشور (۱۳۸۳) ۶۰۶ ص.
- [4] Lotfi M., "Geological and geochemical investigations on the volcanogenic Cu, Pb, Zn, Sb ore- mineralizations in the Shurab-GaleChah and northwest of Khur (Lut, east of Iran)", unpublished Ph.D thesis, der Naturwissenschaften der Universität Hamburg (1982) 151.
- [۵] کریم‌پور م. ح.، سعادت س.، ملکزاده شفارودی آ.، "ژئوشیمی، پترولوزی و کانی‌سازی طلای - مس پورفیری تبورجه"، مجله علوم دانشگاه تهران، جلد ۳۲ شماره ۳ (۱۳۸۵) ۱۷۵-۱۸۹.
- [۶] مظلومی ع.، کریم‌پور م. ح.، رسا الف.، رحیمی ب.، وثوقی عابدینی م.، "کانسار طلای کومزر تربت‌حیدریه مدل جدیدی از کانی‌سازی طلا"، مجله بلورشناسی و کانی‌شناسی ایران، شماره ۳ (۱۳۸۷) ۳۶۴-۳۷۶.
- [۷] ملکزاده شفارودی آ.، "زمین‌شناسی، کانی‌سازی، آتراسیون، ژئوشیمی، میکروترموسومتری، مطالعات ایزوتوبی و تعیین منشأ کانی‌سازی مناطق اکتشافی ماهرا آباد و خوپیک، استان خراسان جنوبی"، رساله دکتری (Ph.D) (زمین‌شناسی اقتصادی دانشگاه فردوسی مشهد (۱۳۸۸) ۶۰۰ ص.
- [۸] عبدالی م.، کریم‌پور م. ح.، زرین‌کوب م. ح.، "تفسیر نتایج آنالیز فاکتوری داده‌های ژئوشیمیابی رسوبات رودخانه‌ای با کمک داده‌های زمین‌شناسی، آتراسیون و کانی‌زائی در منطقه کوه شاه، بیرجند، خراسان جنوبی"، فصلنامه علوم زمین (در حال چاپ).

گرانیتوئیدی منطقه کبیرکوه از پوسته قدیمی با سن حداقل ۸۴۰ میلیون سال حاصل شده است. این امر نشان می‌دهد که هرچند همه این توده‌های نفوذی سن ائوسن تا الیگوسن تحتانی را با اختلاف سنی حدود ۱۰ میلیون سال دارند؛ ولی از پوسته‌های اقیانوسی متفاوتی منشأ گرفته‌اند. به طوری که ماگمای منطقه کبیرکوه از قدیمی ترین پوسته اقیانوسی در حال فروزانش، نشأت گرفته و بیشترین آلایش پوسته‌ای را در طی صعود متحمل شده است. این موضوع را ژئوشیمی متفاوت اکسیدهای اصلی، عناصر فرعی و خاکی کمیاب و ایزوتوپ‌های Sm/Nd و Rb/Sr در ماگمای منطقه کبیرکوه تأیید می‌کند. همچنین توده‌های نفوذی بدون کانی‌سازی نجم‌آباد از جوانترین پوسته اقیانوسی به سن ۳۶۰ میلیون سال منشأ گرفته و کمترین آلودگی با پوسته را دارد. ژئوشیمی کاملاً متفاوت ماگمای این منطقه مانند سدیک بودن، الگوی متفاوت عناصر REE، آداکیتی بودن ماهیت ماگما، تفاوت در مقدار ϵ_{Nd} و غیره این موضوع را اثبات می‌کند. ماگمای مناطق دهسلم و چاه‌شلجمی نیز که در برخی موارد ژئوشیمی متفاوت با ماگمای مناطق ماهرا آباد و خوپیک نشان می‌دهند نیز از پوسته‌های اقیانوسی جداگانه‌ای منشأ گرفته‌اند که حدود ۲۰۰ میلیون سال با یکدیگر اختلاف سنی داشته‌اند. با عنایت به کانی‌سازی‌های مختلف مرتبط با توده‌های نفوذی بحث شده و براساس سن‌سنجهای انجام شده، در فاصله زمانی بین ۴۲ تا ۳۳ میلیون سال قبل (اویسن میانی تا اوایل الیگوسن)، ماگماتیسم‌های ویژه‌ای با ژئوشیمی خاص (مانند مناطق ماهرا آباد، خوپیک، دهسلم، چاه‌شلجمی، آغل‌کوه، خور، شوراب و غیره) در شرق ایران و عمدها در محدوده استان خراسان جنوبی شکل گرفته که عامل تشکیل انواع کانی‌سازی مس- طلا پورفیری، طلای ابی‌ترمال سولفید بالا و IOCG در این بخش از ایران شده است. این ماگماتیسم‌ها با فروزانش پوسته‌های اقیانوسی با سن‌های متفاوت (از ۴۴۰ تا ۶۲۰ میلیون سال) همراه بوده است. لذا با توجه به آگاهی از ژئوشیمی توده‌های نفوذی مرتبط با کانی‌سازی‌های مختلف، سن توده‌ها و موقعیت مکانی خاص (عمدها در محدوده استان خراسان جنوبی)، می‌توان گام بلندتری در جهت اکتشاف این گونه ذخایر در شرق ایران برداشت. لازم به ذکر است که تکمیل اطلاعات از دیگر توده‌های ترشیاری لوت و کانی‌سازی مربوط به آنها در آینده، این بررسی را دقیق‌تر می‌کند.

- [۱۹] اوهانیان ت، طاویان ش، " نقشه زمین‌شناسی ۱:۱۰۰۰۰ بیرجند" ، سازمان زمین‌شناسی کشور (۱۳۶۶).
- [۲۰] Stocklin J., Nabavi M. H., "Geological map of Boshrouyeh", Geological Survey of Iran ' (1969).
- [۲۱] لطفی م، "نقشه زمین‌شناسی ۱:۱۰۰۰۰ سارغانج (برگه ۷۷۵۶)"، سازمان زمین‌شناسی و اکتشافاتمعدنی کشور (۱۳۷۴).
- [۲۲] وثیق ح، سهیلی م، "نقشه زمین‌شناسی ۱:۱۰۰۰۰ سرچاه‌شور (برگه ۷۷۵۴)"، سازمان زمین‌شناسی و اکتشافاتمعدنی کشور (۱۳۵۴).
- [۲۳] موحد اول ح، امامی م. ح، "نقشه زمین‌شناسی ۱:۱۰۰۰۰ مختاران (برگه ۷۸۰۴)" ، سازمان زمین‌شناسی و اکتشافاتمعدنی کشور (۱۳۵۷).
- [۲۴] اکرمی الف، نادری میقان ن، "نقشه ۱:۱۰۰۰۰ سلم" ، سازمان زمین‌شناسی کشور (۱۳۸۴).
- [۲۵] Middlemost Eric A. K., "Magmas and magmatic rocks", Longman Pub. Company (1985) 221-226.
- [۲۶] Shand S. J., "Eruptive rocks, Their genesis, composition, classification and their relation to ore-deposits", 1969 (facs. of 3rd ed. 1947). Hafner, New York (1947) 488.
- [۲۷] Pearce J. A., Harris N. W., Tindle A. G., "Trace element discrimination diagrams for the tectonic interpretation of granitic rocks", Journal of Petrology 25 (1984) 956-983.
- [۲۸] Bonin B., Grelou-Orsini C., Vialette Y., "Age, origin and evolution of the anorogenic complex of Evisa (Corsica): A K-Li-Rb-Sr study", Contributions to Mineralogy and Petrology 65 (1978) 425-435.
- [۲۹] Wilson M., "Igneous petrogenesis", Uniwin Hyman, London (1989).
- [۳۰] Martin H., "Adakitic magmas: modern analogues of Archaean granitoids", Lithos 46 (1999) 411- 429. PII:S0024-4937(98)00076-0.
- [۳۱] Gust D. A., Arculus R. A., Kersting A. B., "Aspects of magma sources and processes in the Honshu arc", The Canadian Mineralogist 35 (1977) 347-365.
- [۳۲] Woodhead J., Eggins S., Gamble J., "High field strength and transition element systematic in island arc and back-arc basin basalts: evidence for multi-phase melt extraction and a deoleted mantle wedge", Earth and Planetary Science Letters 114 (1993) 491-504.
- [۹] کریم‌پور م. ح، سلاطی الف، "تهیه نقشه زمین‌شناسی، اکتشافات ژئوشیمیایی و مگنتومتری در محدوده خربی کیبرکوه" ، شرکت تهیه و تولید مواد اولیه فولاد خراسان (۱۳۸۹) ۱۹۷ ص.
- [۱۰] کریم‌پور م. ح، مرادی م، "پروژه اکتشاف نیمه تفصیلی طلا و تنگستن کلاته آهنی، گناباد" ، سازمان صنایع و معادن استان خراسان رضوی (۱۳۸۹) ۲۷۱ ص.
- [۱۱] مرادی م، کریم‌پور م. ح، فارمر ل، استرن ج، "ژئوشیمی ایزوتوب‌های $Rb-Sr$ & $Sm-Nd$ سن‌سنگی زیرکون $U-Pb$ و پتروژنر با تولیت گرانوودیوریتی نجم‌آباد، گناباد" ، مجله زمین‌شناسی اقتصادی (۱) ۴: ۱۴۵-۱۲۷.
- [۱۲] ارجمندزاده ر، کریم‌پور م. ح، مظاہری س. الف، سانتوز ژ. ف، مدینا ج، همام س. م، "ژئوشیمی ایزوتوبی و پتروژنر آدکیت‌های شوشونیتی در بلوك لوت، شرق ایران" ، اولین همایش انجمن زمین‌شناسی اقتصادی ایران، دانشگاه فردوسی مشهد (۱۳۸۹).
- [۱۳] ارجمندزاده ر، "مطالعات کانی‌سازی، ژئوشیمی، سن‌سنگی و تعیین جایگاه تکتونوماگمایی توده‌های نفوذی در اندیس معدنی ده سالم و چاه شلجمی، بلوك لوت، شرق ایران" ، رساله دکتری (Ph.D) زمین‌شناسی اقتصادی دانشگاه فردوسی مشهد (۱۳۹۰) ۳۶۹ ص.
- [۱۴] Jung D., Keller J., Khorasani R., Marcks Chr., Baumann A., Horn P., "Petrology of the Tertiary magmatic activity the northern Lut area, East of Iran" ، Ministry of mines and metals, GSI, geodynamic project (geotraverse) in Iran, No 51 (1983) 285-336.
- [۱۵] Tarkian M., Lotfi M., Baumann A., "Tectonic, magmatism and the formation of mineral deposits in the central Lut, east Iran" ، Ministry of mines and metals, GSI, geodynamic project (geotraverse) in Iran, No 51 (1983) 357-383.
- [۱۶] Ishihara S., "The magnetite- series and ilmenite- series granitic rocks" ، Mining geology, Japan 27 (1977) 43- 300.
- [۱۷] بلوریان غ، صفری م، "نقشه زمین‌شناسی ۱:۱۰۰۰۰ زوزن" ، سازمان زمین‌شناسی و اکتشافاتمعدنی کشور (۱۳۸۴).
- [۱۸] قائمی ف، شهریور ۵، "نقشه زمین‌شناسی ۱:۱۰۰۰۰ گناباد" ، سازمان زمین‌شناسی و اکتشافاتمعدنی کشور (۱۳۸۵).

- subducted lithosphere", Nature* 347 (1990) 662–665.
- [41] Martin H., "The Archaean grey gneisses and the genesis of the continental crust", In: Condie, K.C. Ed., The Archaean Crustal Evolution. Elsevier (1995) 205–259.
- [42] Depaolo D. J., "Neodymium isotopes in the Colorado front range and crust-mantle evolution in the Proterozoic", *Nature* 291 (1981) 193–196.
- [43] Depaolo D. J., "Neodymium Isotope Geochemistry: An Introduction", Springer, New York, (1988).
- [44] Zindler A., Hart S. R., "Chemical geodynamics", *Ann Rev Earth Planet Sci* 14 (1986) 493–571.
- [45] کریمپور م. ح.، ملکزاده شفارودی آ.، حیدریان شهری م. ر.، عسکری ع.، "کانی‌سازی، دگرسانی و ژئوشیمی منطقه اکتشافی طلا-قلعه هیرد، استان خراسان جنوبی"، مجله بلوشناسی و کانی‌شناسی ایران (۱) (۱۳۸۶) ۵۳–۶۶.
- [46] Lensch G., Schmidt K., "Plate tectonic, orogeny, and mineralization in the Iranian fold belts results and conclusions", *N. Jb. Geol. Palaont. Abh.* 168, 2/3 (1984) 558–568.
- [47] محمدی ف.، کریمپور م. ح.، زرین کوب م. ح.، "پتروژنی توده‌های آذرین و ژئوشیمی زون‌های آلتراسیون معدن قلعه زری (خراسان جنوبی)", سیزدهمین همایش انجمن بلوشناسی و کانی‌شناسی ایران، دانشگاه شهید باهنر کرمان (۱۳۸۴) ۳۳–۳۹.
- [48] Karimpour M. H., "Comparison of Qaleh Zari Cu-Au-Ag deposit with other Iron Oxides Cu-Au (IOCG-Type) deposits & new classification", *Iranian Journal of Crystallography and mineralogy* 13 (2005) 165–184.
- [33] Wass S. Y., Rogers N. W., "Mantle metasomatism- precursor to alkaline continental volcanism", *Geochimica et Cosmochimica Acta* 44 (1980) 1811–1823.
- [34] Taylor S. R., McLennan S. M., "The continental crust, its composition and evolution, an examination of the geochemical record preserved in sedimentary rocks", Blackwell, Oxford (1985) 312.
- [35] Hou Z. Q., Gao Y. F., Qu X. M., Rui Z. Y., Mo X. X., "Origin of adakitic intrusives generated during mid-Miocene east-west extension in southern Tibet", *Earth and Planetary Science Letters* 220 (2004) 139–155.
- [36] Boynton W. V., "Cosmochemistry of the rare earth elements", Meteorite studies, In Rare Earth Element Geochemistry (P. Henderson, ed.), (Developments in Geochemistry 2) (1985) 115–1522, Elsevier, Amsterdam.
- [37] Pearce J. A., Parkinson I. J., "Trace element models for mantle melting: application to volcanic arc petrogenesis", In: Prichard, H. M., Alabaster, T., Harris, N. B. W., Neary, C. R. (Eds.), Magmatic Processes in Plate Tectonics, vol. 76, Geological Society of London Special Publication (1993) 373–403.
- [38] Reagan M. K., Gill J. B., "Coexisting calc-alkaline and high niobium basalts from Turrialba volcano, Costa Rica: implication for residual titanates in arc magma source", *Journal of Geophysical Research* 94 (1989) 4619–4633.
- [39] Martin H., Smithies R. H., Rapp R., Moyen J. F., Champion D., "An overview of adakite, tonalite-trondhjemite-granodiorite (TTTG), and sanukitoid: relationships and some implications for crustal evolution", *Lithos* 79 (2005) 1–24.
- [40] Defant M. J., Drummond M. S., "Derivation of some modern arc magmas by melting of young